

Section 8 La zone de Sirikoro

8-1 La géologie, la vérification sur les lieux

8-1-1 La géologie

Parmi les zones qui font l'objet de notre prospection géologique et géochimique, la zone de Sirikoro est la seule zone qui se situe à la rive droite de la rivière Baoulé. Elle se situe à l'est du village de Sirikoro. Son étendue est de 5km de l'est à l'ouest, et de 5,8km du sud au nord

Nous avons effectué la prospection géologique de la même manière que dans les autres zones. En examinant le résultat de la prospection géochimique d'Au, nous avons effectué la prospection détaillée de la géologie dans la partie nord-ouest et la partie centrale-sud. Nous présentons la carte sommaire de la géologie et la carte sommaire de la coupe géologique dans Fig. II-8-1 et Ct. 8.

Comme la présente zone entière est couverte par la latérite et le sol à la surface, nous ne pouvons pas confirmer la situation géologique. Nous n'avons constaté qu'un seul affleurement du complexe Birrimien qui affleure à l'état de monadnock, dans la partie extrême nord-ouest de la présente zone. La lithologie du complexe Birrimien dans cet affleurement est le quartz muscovite psamitique schiste à grains fins. La schistosité présente la direction de NNO-SSE, avec la pente rapide vers l'est. Comme, d'après l'analyse des photos aériennes, nous avons constaté bon nombre de linéaments de la même direction que cette schistosité, nous pouvons présumer que le complexe Birrimien se répartit vastement sous le sol à la surface de la présente zone.

Dans plusieurs points de l'étendue de 1km×1km dans la partie extrême sud de la zone, nous avons constaté les pierres roulées du groupe de granite. Sa lithologie est l'amphibolite biotite granite, de la couleur leucocrate, à grains gros. De plus, même dans l'analyse des photos aériennes, la zone présentant le réflexe clair blanc qui devrait représenter le groupe de granite se répartit intensivement au bord de l'extrême sud-ouest de la présente zone. D'où nous pouvons penser que le groupe de granite se répartit dans la partie sud de la présente zone.

8-1-2 La structure géologique

D'après la carte différentielle première verticale, la structure linéaire de la direction d'E-O a été extraite dans la partie sud de la présente zone. (Fig. II-8-1) Ce qui a été extrait de la carte différentielle première verticale est très longue, en se prolongeant de plus de 20km. Elle part de la partie ouest de Diamou, en passant par la partie extrême sud de la

zone de Baoulé-Banifing. Compte tenu de cette étendue, nous pouvons penser qu'elle indique la fracture. Cette structure linéaire est aussi reconnue dans la carte du calcul U. Avec cette ligne comme la frontière, la densité d'uranium est basse dans le côté nord, et haute dans le côté sud. Avec la répartition des pierres roulées, cette structure linéaire pourrait indiquer la fracture entre le complexe Birrimien et le groupe de granite.

8-2 Le résultat de la prospection géochimique

8-2-1 La méthode de la prospection

La méthode de la prospection est la même que celle de la section 3-2-1 du présent rapport. Nous présentons la position du prélèvement des échantillons de la prospection géochimique dans Fig. II-3-4.

8-2-2 L'extraction de l'anomalie géochimique d'Au

(1) Le calcul de la quantité statistique basique

D'après le résultat de l'analyse de 1.200 échantillons prélevés dans la zone de Sirikoro, nous avons calculé la quantité statistique basique de chaque composant de l'analyse (neuf composants). Nous présentons la liste de la quantité basique et des valeurs de la limite de détection dans Tableau II-8-1.

Tableau II-8-1 la liste de la quantité basique et des valeurs de la limite de détection (la zone de Sirikoro)

	Au	As	Mn	Cr	V	Zn	Ni	Cu	Co
Detection Limit (LD)	1ppb	5ppm	1ppm	1ppm	1ppm	1ppm	1ppm	1ppm	1ppm
Sample number (total)	1200	1200	1200	1200	1200	1200	1200	1200	1200
Sample number (over LD)	1156	924	1200	1200	1200	1200	1197	1200	1144
Ratio (over LD)	95.5%	77.0%	100%	100%	100%	100%	99.8%	100%	95.3%
Unit	ppb	ppm	ppm	ppm	ppm	ppm	ppm	ppm	Ppm
Minimum	<1	<1	52	16	29	7	<1	3	<1
Maximum	1008	373	1513	917	1479	75	87	98	50
Median	10	9	440.5	66	81.5	26	19	13	17
Average	9.6	8.5	411.6	72.5	87.0	26.3	17.8	13.9	10.7
Average + 1 σ	32.1	20.2	700.6	131.4	154.1	36.1	26.9	21.3	29.1

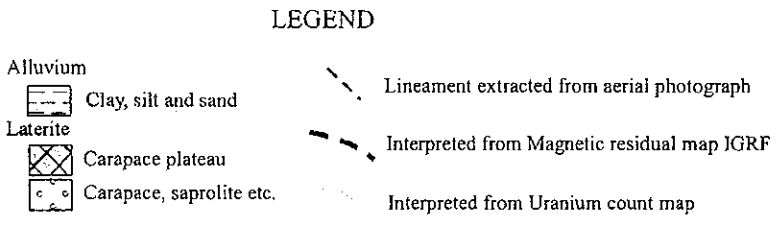
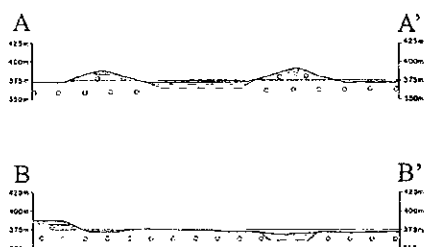
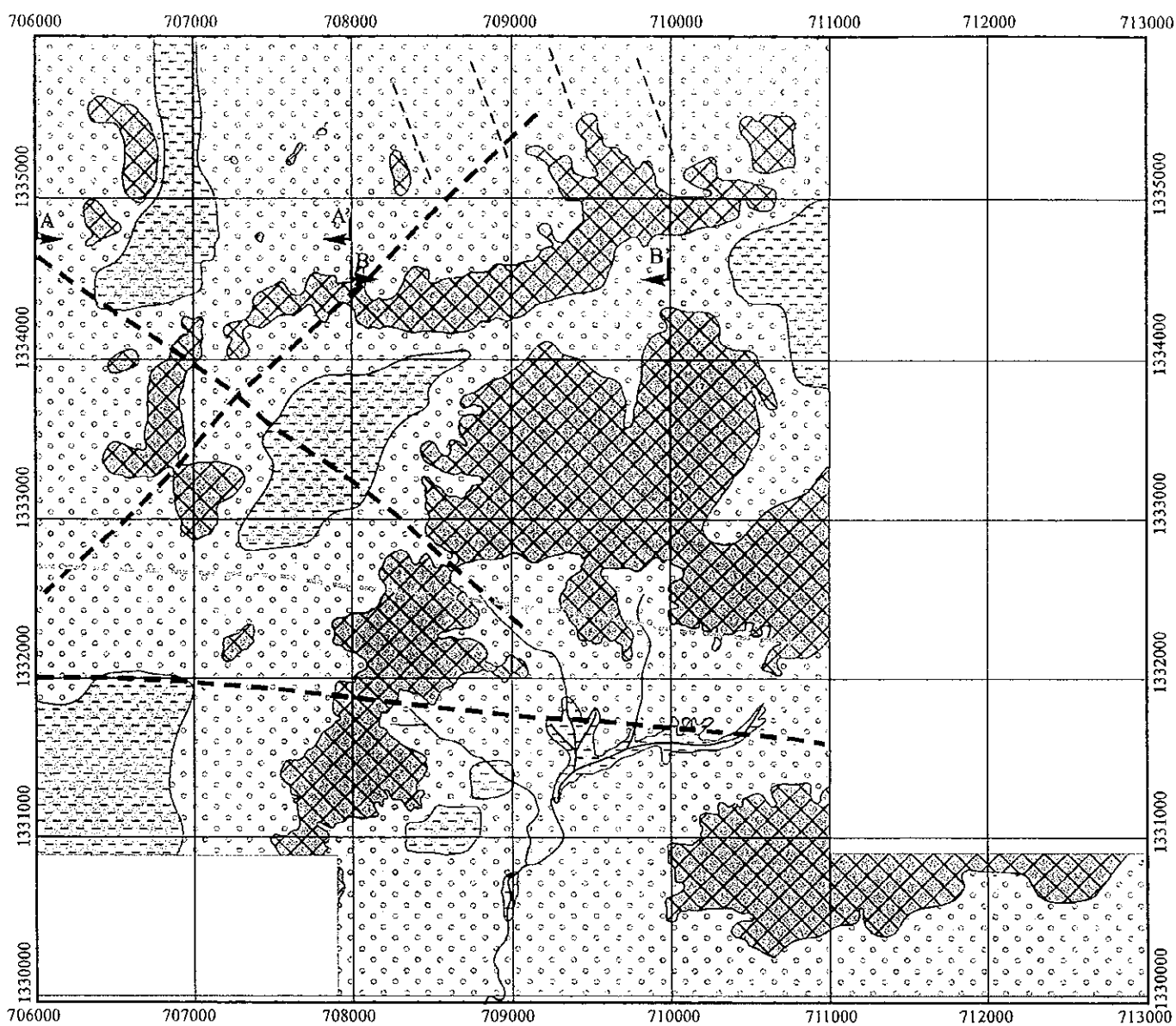


Fig. II-8-1 la carte sommaire de la géologie et la carte de la coupe géologique dans la zone de Sirikoro

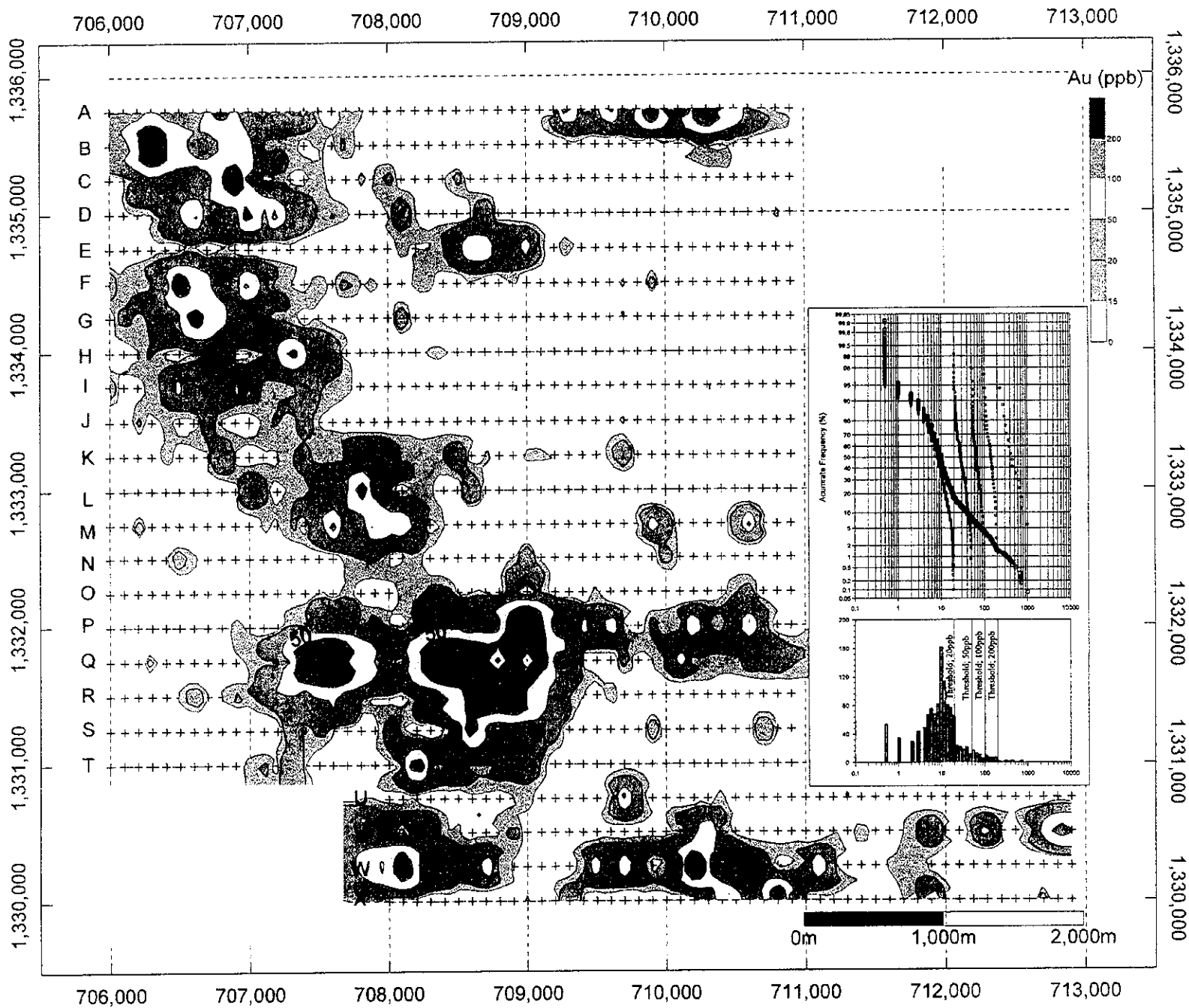
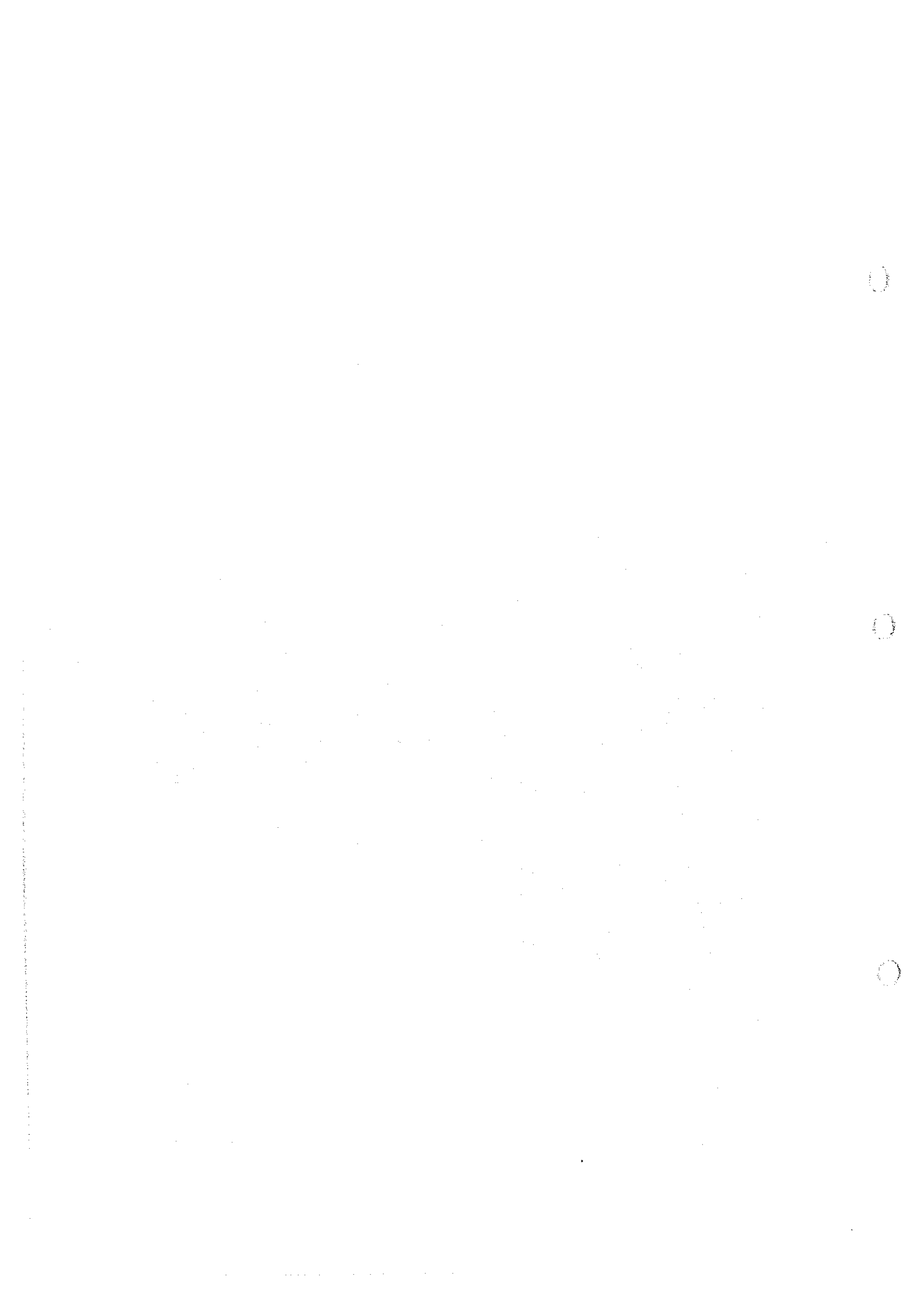


Fig. II-8-2 la carte de l'anomalie géochimique d'Au dans la zone de Sirikoro



(2) Le résultat de l'analyse

La méthode de l'élaboration de la carte de la répartition de la fréquence cumulative concernant le résultat de l'analyse d'Au et la méthode de la décision des valeurs de seuil sont les mêmes que celles que nous avons mentionnées dans 3-2-2 de notre rapport. Dans Ap. 16 à la fin du rapport, nous présentons la carte de la répartition de la fréquence cumulative que nous avons utilisée pour la décision des valeurs de seuil.

Dans Tableau II-8-2, nous présentons le résultat de la décision des valeurs de seuil d'après la carte de la répartition de la fréquence cumulative. Dans Fig. II-8-2, nous présentons la carte de l'anomalie géochimique d'Au que nous avons élaborée d'après ces valeurs de seuil.

D'après l'analyse d'Au dans la zone de Sirikoro, la valeur de seuil entre le groupe mère d'arrière-plan et le groupe mère d'anomalie géochimique est fixée comme 20ppb. Nous avons divisé davantage le groupe de l'anomalie géochimique en quatre groupes mères, avec les valeurs de seuil de 50ppb, 100ppb, et 300ppb. Le groupe mère d'arrière-plan occupe 82,2% du tout, et la somme des groupes mères de l'anomalie géochimique représente 17,8% du tout.

Dans la carte de l'anomalie géochimique d'Au, nous pouvons reconnaître la zone de l'anomalie géochimique rassemblée spatialement aux valeurs de seuil de 20ppb, 50ppb, et de plus de 100ppb. La zone principale de l'anomalie géochimique se répartit successivement dans la direction de NNO-SSE, de la partie nord-ouest à la partie sud de la zone de Sirikoro.

Tableau II-8-2 le résultat de l'analyse univariée d'Au (la zone de Sirikoro)

	Sample number, 1200			
	threshold A	threshold B	threshold C	threshold D
Threshold value	200ppb	100ppb	50ppb	20ppb
Sample number	17	34	48	115
Ratio	1.4%	2.8%	4.0%	9.6%

8-2-3 Le résultat de l'analyse multivariée

Nous avons fait une analyse multivariable relative aux 9 éléments: Au, As, Mn, Cr, V, Zn, Ni, Cu et Co. Nous avons d'abord calculé la matrice de corrélation entre ces 9 éléments à la base des résultats d'analyse de 1200 échantillons pour ces 9 éléments, puis réalisé une analyse des facteurs. Lors d'analyse, nous avons converti les valeurs analysées

en logarithmes. En tenant compte de valeurs particulières et de taux de contribution, nous avons déterminé le nombre d'élément pour le calcul à quatre. Lors d'analyse des facteurs, nous avons appliqué la Méthode Vrimax (Varimax Methode). Les résultats d'analyse sont montrés au Tableau II-8-3. Pour interpréter les résultats d'analyse des facteurs, nous nous sommes reportés aux résultats d'analyse du Secteur de Diamou.

La matrice de corrélation calculée montre les coefficients de corrélation élevés entre les 6 éléments soit: As, Cr, V, Zn, Ni et Cu. En particulier, on a observé les valeurs élevées de corrélation entre les deux éléments de Cr et V. La corrélation entre Au et les autres 8 éléments est faible. On observe une faible corrélation entre Au et les éléments de Cu, Zn et Mn.

Le résultat d'analyse des facteurs montre que le taux de contribution cumulé atteint 60,7 % avec les quatre facteurs. Il s'agit du premier facteur (taux de contribution 26,5 %), du deuxième facteur (taux de contribution 17,2 %), du troisième facteur (taux de contribution 14,9 %) et du quatrième facteur (taux de contribution 2,1%).

Le premier facteur montre les chargements élevés de Cr, V et As. Ce sont les éléments concentrés dans la carapace. On peut donc dire que le premier facteur représente la carapace dans les horizons latéritiques.

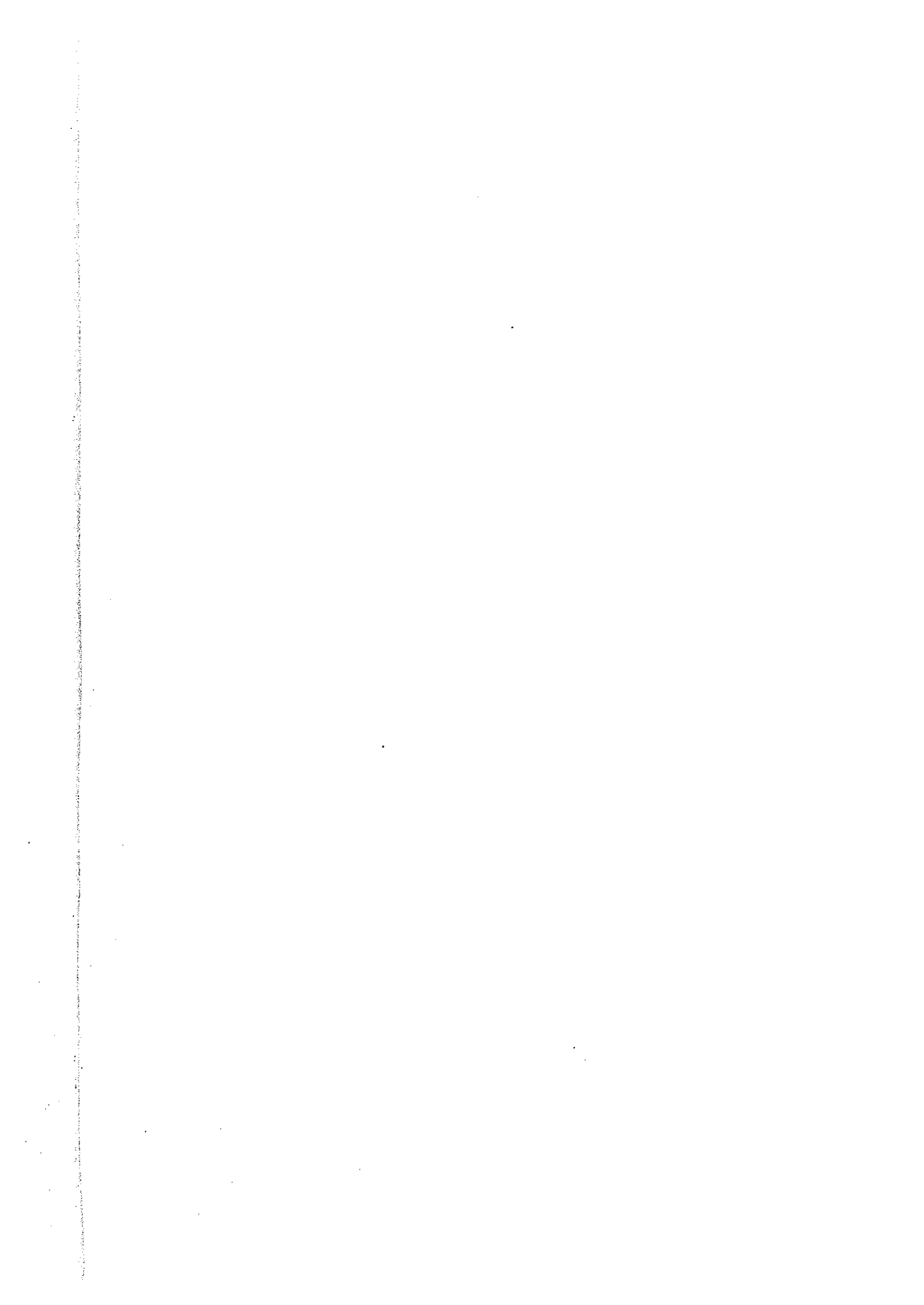
Le deuxième facteur montre les chargements élevés de Cu, Zn et Ni. Ce sont les éléments diminuant par latéritisation. On peut dire que le deuxième facteur indique le degré de latéritisation.

Le troisième facteur montre les chargements élevés de Mn et Co. Les éléments de Mn et Co sont les éléments qui montrent les valeurs élevées dans la carapace et sont très souvent concentrés dans la couche de sédiments secondaires. On peut dire que le troisième facteur représente les sédiments secondaires de carapace.

Le quatrième facteur montre la valeur de chargement d'Au élevée, puis secondairement on observe les valeurs de chargements élevées de Cu et Zn. Parmi les quatre facteurs calculés, seul le quatrième facteur présente la valeur élevée de chargement d'Au. En conséquence, on peut dire que le quatrième facteur indique la minéralisation d'Au et que la minéralisation d'Au extraite par ce facteur sera accompagnée des éléments de Cu et Zn.

La Figure II-8-3 présente la distribution d'anomalies des scores de quatrième facteur.

On observe des anomalies des scores de quatrième facteur clairsemées dans la partie Ouest. Elles sont rangées dans la direction de NNW-SSE.



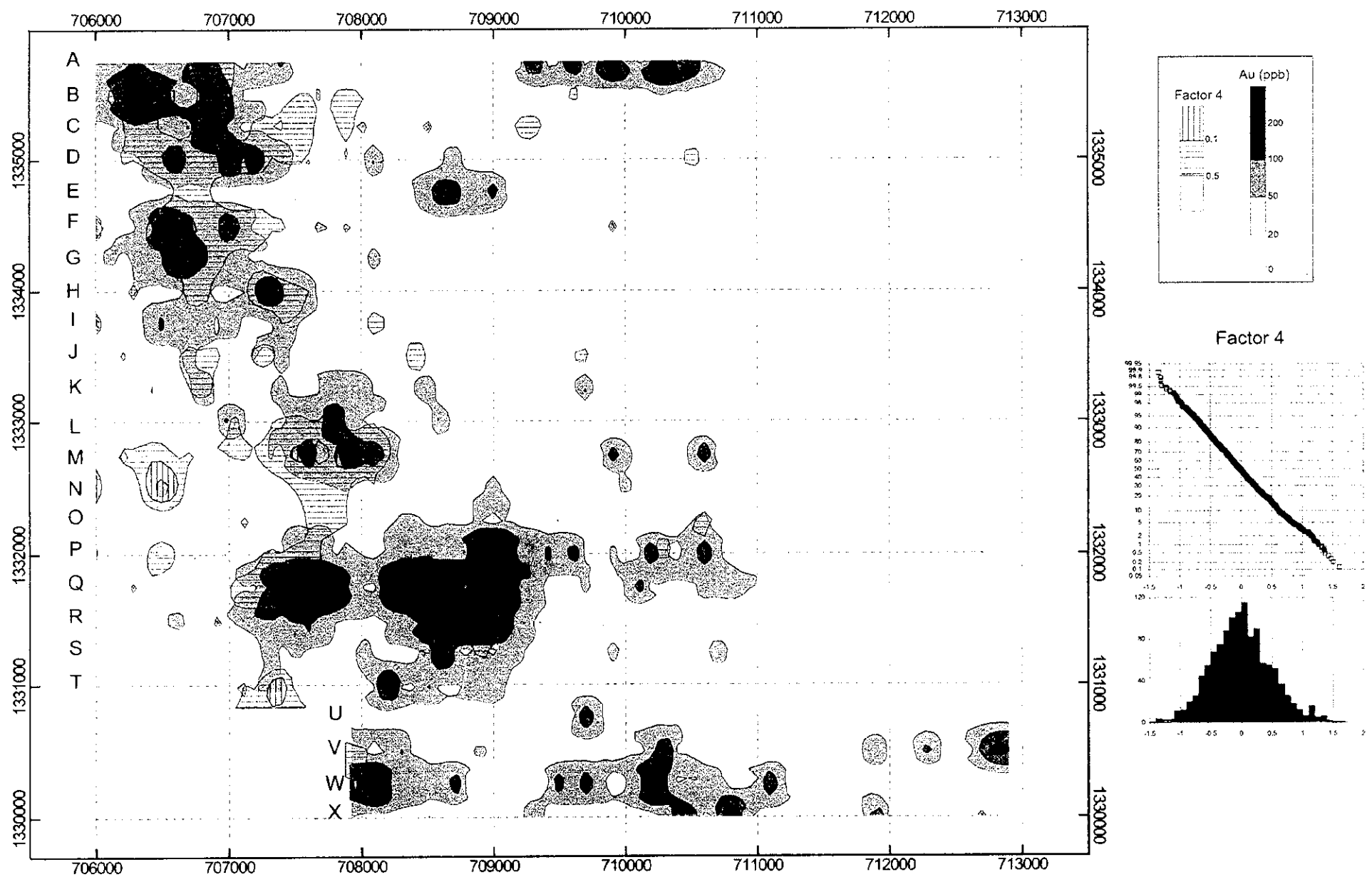


Fig. II-8-3 la carte de l'analyse multivariee dans la zone de Sirikoro



Tableau II-8-3 le résultat de l'analyse multivariée (la zone de Sirikoro)
Correlation coefficient

	Au	As	Mn	Cr	V	Zn	Ni	Cu	Co
Au	1.00	-	-	-	-	-	-	-	-
As	0.03	1.00	-	-	-	-	-	-	-
Mn	0.08	0.30	1.00	-	-	-	-	-	-
Cr	0.06	0.65	0.37	1.00	-	-	-	-	-
V	0.01	0.68	0.42	0.90	1.00	-	-	-	-
Zn	0.08	0.52	0.50	0.67	0.74	1.00	-	-	-
Ni	-0.02	0.31	0.25	0.47	0.52	0.63	1.00	-	-
Cu	0.11	0.53	0.17	0.62	0.64	0.71	0.55	1.00	-
Co	-0.04	0.20	0.58	0.36	0.43	0.46	0.40	0.29	1.00

Factor analysis

	Factor 1	Factor 2	Factor 3	Factor 4
Eigen value	2.38	1.55	1.34	0.19
Contribution	26.5%	17.2%	14.9%	2.1%
Cumulative cont.	26.5%	43.7%	58.6%	60.7%
Au	0.028	0.015	0.008	0.294
As	0.674	0.212	0.135	0.133
Mn	0.207	0.079	0.715	0.109
Cr	0.828	0.318	0.240	0.032
V	0.819	0.363	0.322	-0.025
Zn	0.460	0.622	0.410	0.165
Ni	0.253	0.621	0.253	-0.067
Cu	0.481	0.649	0.060	0.171
Co	0.146	0.264	0.646	-0.083

8-3 Le sommaire du résultat de recherches et le plan pour la deuxième année

8-3-1 Résumé

Nous présentons la carte de l'analyse synthétique dans Fig. II-8-4. Dans la partie extrême ouest de la présente zone, nous avons extrait l'anomalie géochimique ($Au > 20\text{ppb}$) qui se prolonge dans la direction de NO-SE. Dans la partie sud, nous avons extrait les deux anomalies géochimiques qui se prolongent dans la direction de quasi E-O. L'anomalie géochimique de NO-SE continue à très grande échelle. Elle se prolonge plus de 4,0km, avec la largeur d'environ 500m. Cette anomalie géochimique est tellement linéaire et longue que nous espérons qu'elle représente la zone de minéralisation au bord de la fracture.

L'anomalie géochimique d'E-O dans la partie sud de la zone se prolonge par intermittence d'au moins 3km. La partie du côté nord de cette anomalie est en accord avec la structure linéaire d'E-O qui a été extraite du levé magnétique aérien. D'ailleurs, la partie de la réunion avec l'anomalie géochimique de NO-SE est l'anomalie la plus dense. D'où la haute densité de l'anomalie dans cette partie de la réunion pourrait indiquer la partie riche de la zone de minéralisation qui s'est produite dans la partie de la réunion de la fracture.

Dans la carte du calcul K, nous reconnaissons la zone de la haute densité qui se superpose à l'anomalie géochimique dans la partie ouest de la zone, en se prolongeant dans la direction de NO-SE. (Fig. II-8-5). De plus, l'anomalie à

l'extrême ouest de la zone semble se prolonger aussi dans la direction de NO-SE. Comme la direction du prolongement est en accord avec l'anomalie géochimique, elle pourrait indiquer la zone d'altération qui accompagne la zone de minéralisation.

8-3-2 Les recherches pour l'année prochaine

Compte tenu de l'étendue et du caractère de l'anomalie géochimique, la présente zone est une des zones plus prioritaires pour les recherches additionnelles. En tant que recherches de l'année prochaine, nous proposons la prospection par tranchées en vue de confirmer l'étendue de la zone de minéralisation, en y combinant la prospection par sondages afin de constater le prolongement vers la profondeur de la zone de minéralisation.

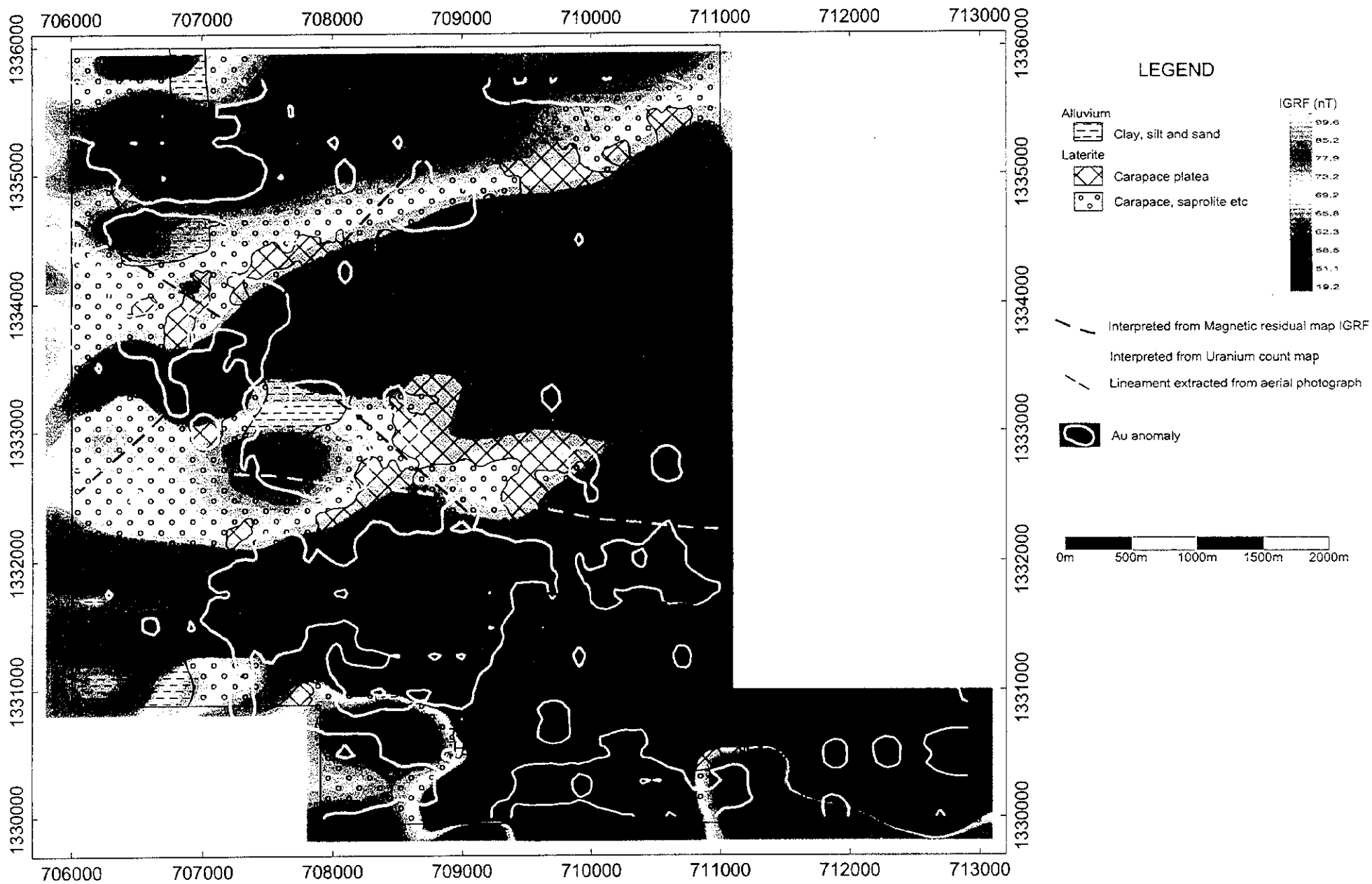


Fig. II-8-4 la carte de l'analyse synthétique dans la zone de Sirikoro

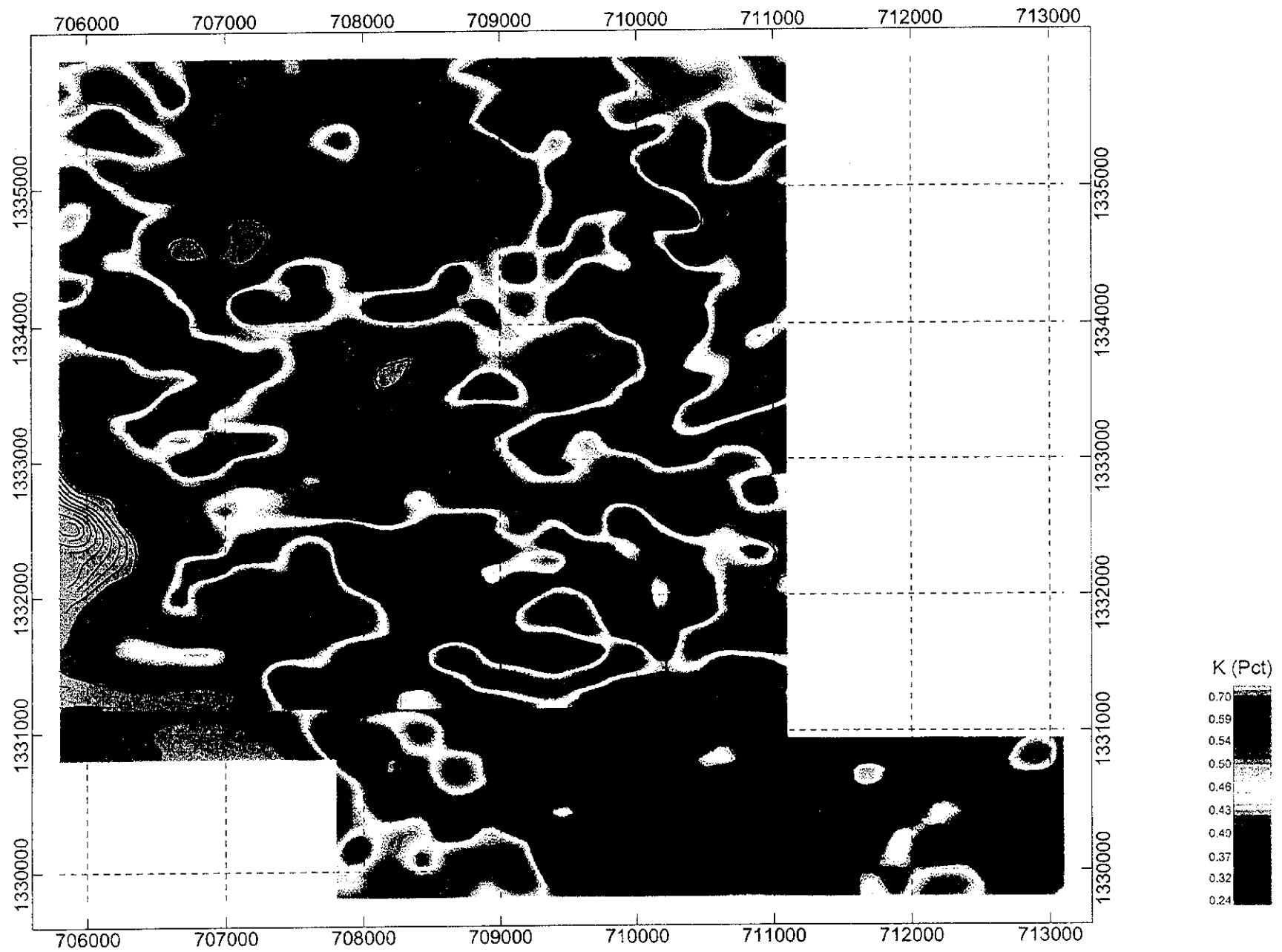
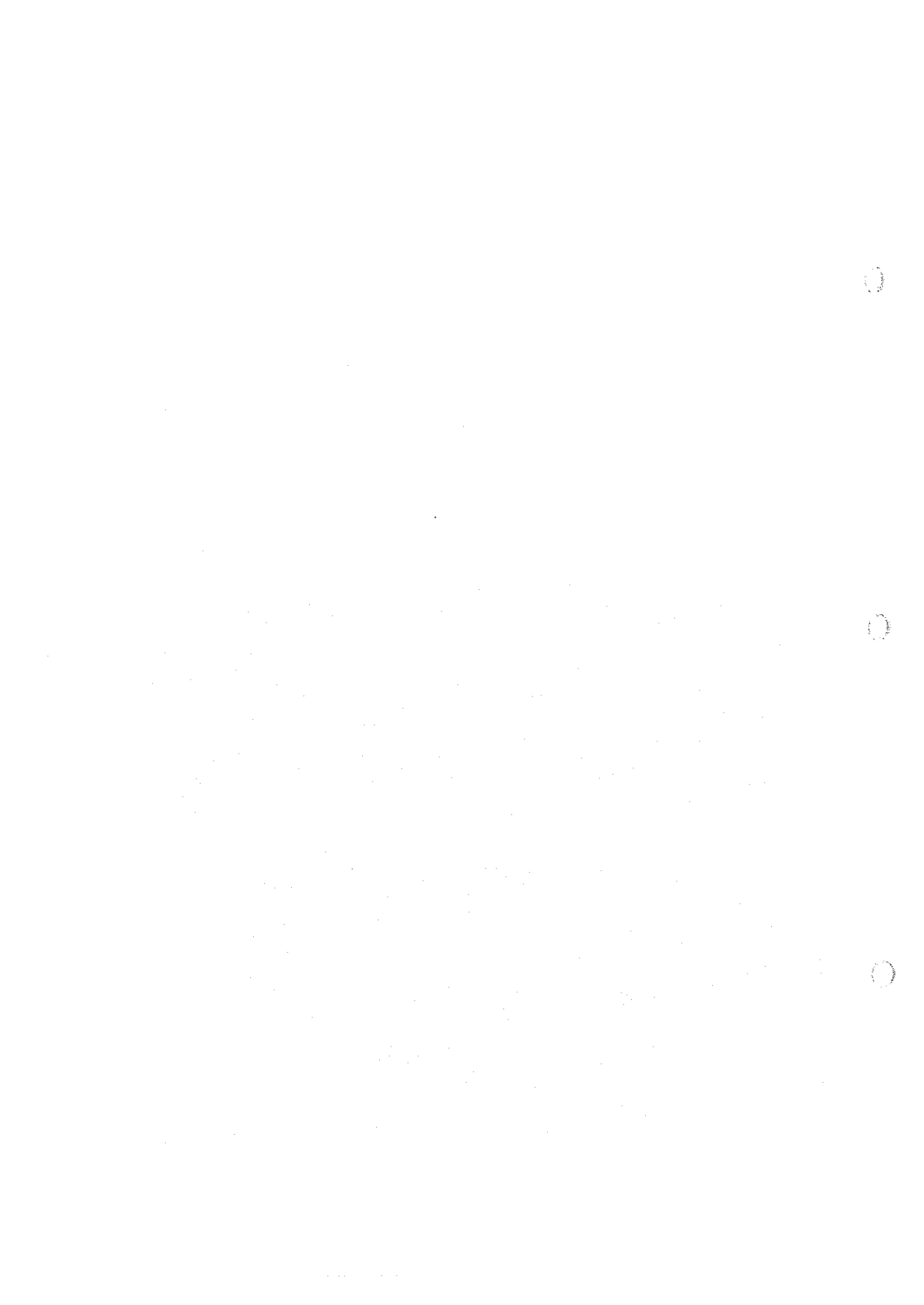


Fig. II-8-5 la carte du calcul K dans la zone de Sirikoro : compteur de couleur



Section 9 La zone de Banifing Baolé

9-1 La géologie, la vérification sur les lieux

La zone de Banifing Baolé se situe dans la partie nord de la zone de recherches. Dans les recherches de l'année 1997, un grand nombre des puits ont été trouvés dans l'étendue de 200m de l'est-ouest et de 300m du sud-nord. Une partie des puits s'effondrent à cause des puits horizontaux qui auraient été développés depuis les puits verticaux. Ainsi, l'extraction de l'or aurait eu lieu à grande échelle.

Comme cette zone présente le prolongement du sud au nord, nous avons fixé les lignes de mesure dans la direction de l'est-ouest à l'intervalle de 50m, en les faisant croiser quasiment à angle droit avec ce prolongement. Puis, nous avons effectué la prospection géologique le long de ces lignes de mesure, en prélevant en même temps les échantillons de la prospection géochimique à l'intervalle de 25m.

La présente zone se situe au bord sud du plateau de latérite. La moitié nord de la terre est couverte par la cuirasse de latérite, et dans la moitié sud la latérite en pente douce se répartit. Dans la partie centrale de la présente zone, nous avons reconnu les pierres roulées du quartz roche psamitique du complexe Sotuba (à l'ère infracambrienne).

9-2 Le résultat de la prospection géochimique

Dans cette zone, nous avons fixé les mailles de l'intervalle de 50m du sud au nord×25m de l'est à l'ouest, parallèles aux coordonnées UTM, et avons prélevé les échantillons de la prospection géochimique. Nous avons effectué l'analyse de seul Au pour les échantillons prélevés dans cette zone. La méthode de l'analyse d'Au est la même que celle des autres zones.

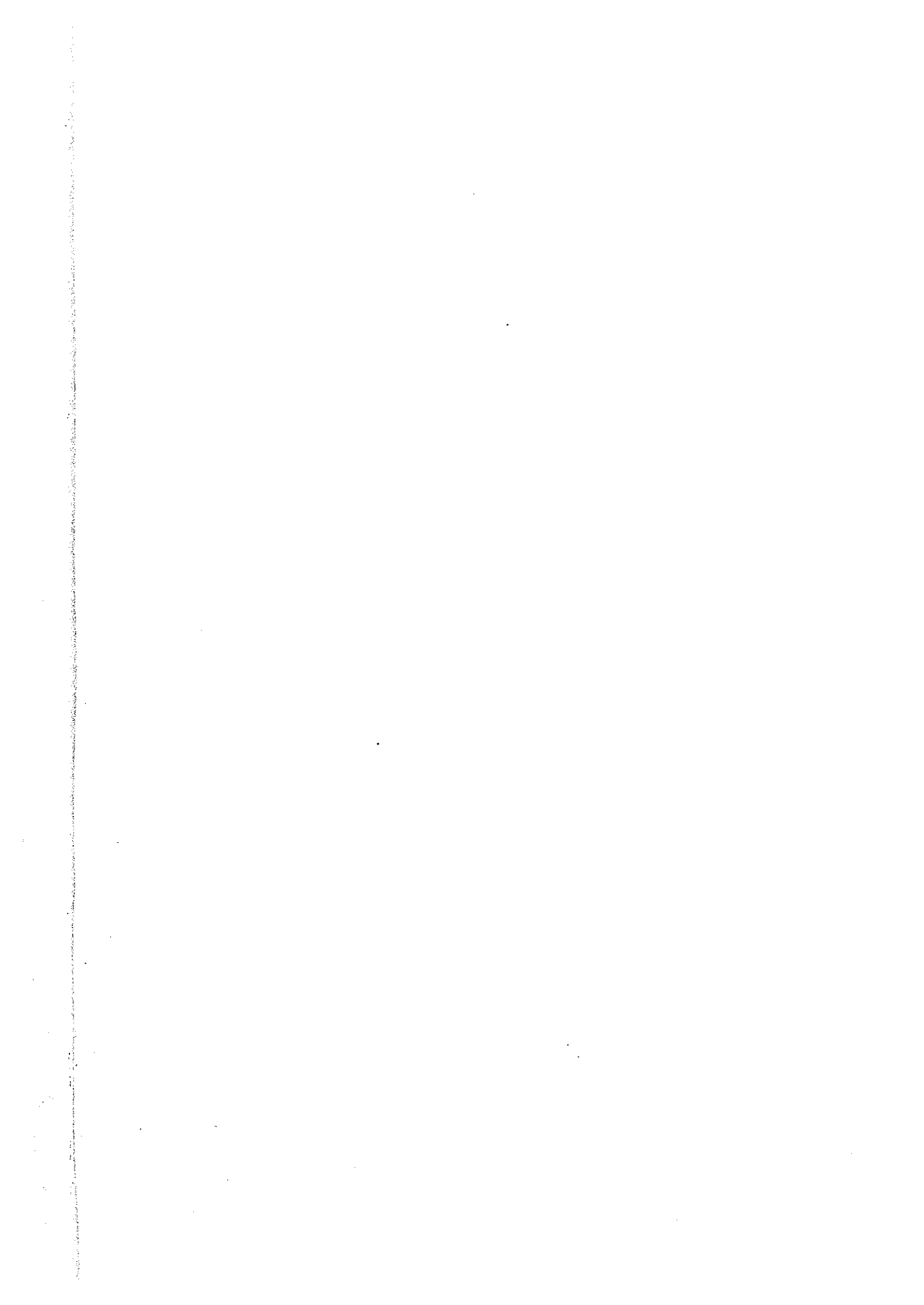
D'après le résultat de l'analyse de 99 échantillons prélevés dans la zone de Banifing Baolé, nous avons calculé la quantité statistique basique d'Au. Nous présentons la liste de la quantité basique et des valeurs de la limite de détection dans Tableau II-9-1. La valeur maximale de l'analyse de l'Au est 570ppb. La valeur moyenne est 9,3ppb. Nous présentons la carte de l'anomalie géochimique d'Au dans Fig. II-9-1.

Tableau II-9-1 la liste de la quantité basique et des valeurs de la limite de détection (la zone de Banifing Baolé)

Detection Limit (LD)	1ppb	minimum	<1 ppb
Sample number (total)	99	maximum	570 ppb
Sample number (over LD)	98	median	9 ppb
Ratio (over LD)	99.0%	Average	9.3 ppb
		Average + 1 σ	19.45 ppb

9-3 Résumé

Bien que nous n'ayons pas pu extraire l'anomalie géochimique à grande échelle dans la présente zone, il est incontestable qu'il y avait la minéralisation d'or, car nous avons obtenu au moins la valeur de 570ppb. En ce qui concerne la prospection pour l'année prochaine, les puits par les riverains sont les seules clefs. Si nous effectuons 10~20 trous de sondage courts pour la zone où se rassemblent intensivement les puits, nous pourrions évaluer si cette zone est prometteuse ou non.



Chapitre III Conclusion et proposition

Chapitre III Conclusion et proposition

Section 1 Conclusion

La présente recherche a pour objectif de clarifier la situation de la géologie et de l'existence des gisements, et de trouver un nouveau gisement dans la région de Baoulé-Banifing à la partie sud de la République du Mali. En tant que recherches pour la première année, nous avons choisi pour l'objet de la prospection sept zones qui avaient été extraites comme les zones prometteuses par les recherches basiques de la coopération technique des ressources (la région de Kékoro—Baoulé-Banifing), à savoir Diamou, Kouloukoro, Siriba Sobala, Torokoro, Kalako, Sirikoro, Sobala, et Banifing Baolé. Pour ces dernières zones, nous avons effectué la lecture des photos aériennes, la prospection géologique, la prospection géochimique, la prospection par puits, et la prospection par sondages, ainsi que le levé aérien et les recherches radioactives pour toutes les zones. (cf. Tableau III-1-1)

1-1 La structure de la géologie régionale et la minéralisation

La géologie de la zone de recherches est principalement le groupe de la roche métasédimentaire dans l'ère précambrienne (le complexe Birrimien) et le groupe de granite. A part ceux-ci, elle se constitue du groupe de la roche intrusive basique de l'ère jurassique, et le sédiment de l'ère quaternaire qui couvre les roches ci-dessus. Il est reconnu que les gisements et les zones de minéralisation autour de la présente zone se produisent le long de la fracture au sein du complexe Birrimien.

Nous avons extrait la structure linéaire, en utilisant la carte différentielle première verticale et la carte du calcul U que nous avons obtenues par le levé magnétique aérien et les recherches radioactives. En même temps, nous avons extrait la roche intrusive, en utilisant la carte de l'intensité totale d'IGRF magnétique résiduel. En tenant compte de ce résultat avec les cartes existantes de la géologie et de l'anomalie géochimique, nous avons examiné la relation entre la structure géologique et la zone de minéralisation.

Parmi les structures linéaires extraites, les séries d'ONO-ESE et d'ENE-OSO sont remarquables, ensuite, la série de E-O. La densité de la structure linéaire est élevée dans la zone entière, et nous pouvons présumer que la géologie dans cette zone est très complexe, en étant coupée par la fracture.

La structure linéaire d'ONO-ESE se développe remarquablement au voisinage du granite produit par le mouvement orogénique. De plus, elle est en harmonie avec la

Tableau III-1-1 Le sommaire de l'étude

No.	Area	Geology	Old prospects*1		Linear structure (Airborne survey*2)	Potassium anomaly*3	Geochemical anomaly				Associated structure
			Load	Placer			Elements	Threshold	Scale	Trends	
1	Diamou (Central zone)	Birimien, Basic intrusive	○	○	WNW-ESE, NW-ES	△	Au, Co, Mn, As Cu, Au, Mn	30ppb	4kmx1km	NW-SE	WNW-ESE, NW-ES
2	Diamou (Western part)	Syntectonic granites	-	-	NW-SE	x	-	30ppb	1kmx1km	?	NS
3	Kouloukoro (Northwestern area)	Birimien, Pegmatite, Basic intrusive	-	○	WNW-ESE, ENE- WSW	△	Au, As, Zn, Cu	30ppb	1.5kmx1.5km	WNW-ESE?, ENE-WSW?	WNW-ESE
4	Kouloukoro (Eastern area)	Birimien, Basic intrusive	-	○	WNW-ESE, E-W ?	x	Au, As, Zn, Cu	30ppb	1kmx1.5km	?	WNW-ESE
5	Siriba Sobala	Birimien, Basic intrusive	-	-	WNW-ESE, ENE- WSW	○	As, Au, Cu	30ppb	0.5kmx0.5km (Many)	?	WNW-ESE
6	Torokoro	Birimien	-	-	WNW-ESE, ENE- WSW	○	Au, Cu, As	45ppb	0.5kmx0.5km (2 anomalies)	E-W?	ENE-WNW?
7	Kalako	Birimien, Pegmatite, Basic intrusive	-	-	WNW-ESE, E-W	○	-	40ppb	4kmx0.5km	WNW-ESE	WNW-ESE
8	Sirikoro	Birimien, Syntectonic granites	○	-	WNW-ESE, E-W	○	Au (Cu, Zn)	20ppb	5kmx1km (NW-SE), 4kmx0.3km (E-W)	WNW- ESE, E-W	WNW-ESE, E-W
9	Banifing Baole	Birimien?	○		-	x	-	-	-	-	-

*1 ○ : Existence *2 Delineated from FVD image

*3 Relationship to geochem. anomalies, ○: Clear, △: unknown, x: no relationship

direction du prolongement de la zone régionale enrichie d'Au, et bon nombre des roches intrusives déterminées par la structure linéaire sont reconnues. D'où nous pouvons présumer qu'elle aurait offert le champ pour l'activité magmatique et la genèse de la zone de minéralisation.

Nous pouvons reconnaître la structure linéaire remarquable pour toutes les zones où nous avons effectué cette année la prospection détaillée de la géochimie. Du point de vue de la vaste région, nous pouvons nommer la zone au nord de Torokoro, et la zone à l'ouest de Kalako. Dans celle-là, la structure linéaire compliquée se développe dans la zone de la haute densité d'or dans la terre. Dans celle-ci, plusieurs points de l'anomalie s'agence à l'état de la structure linéaire.

1-2 La zone de Diamou

D'après la prospection géochimique, nous avons trouvé dans la partie centrale de la présente zone l'anomalie géochimique à grande échelle (longueur 4,5km, largeur 1km) qui se prolonge dans la direction de NO-SE. Au moyen de sondage RC (60m×30 trous) et du carottage (150m×5) qui l'ont suivi, nous avons extrait la zone prometteuse de minéralisation (la zone centrale de minéralisation) qui se prolonge dans la direction de NO-SE, avec la largeur d'environ 200m, et la longueur de plusieurs km.

La minéralisation première constatée dans cette zone de minéralisation est divisée en deux, à savoir le type de l'or-arsénopyrite et le type de l'or-pyrite. Entre ces deux types, les espèces de minéral sulfuré qui accompagnent la minéralisation et la combinaison de minéraux altérés sont différents.

Dans la zone de minéralisation du type de l'or-arsénopyrite, à part l'arsénopyrite, l'accompagnent la pyrrhotite, la pyrite et la chalcopryrite en tant que minéraux sulfurés. L'altération se constitue de la combinaison : le quartz+la muscovite+le chlorite. Dans la prospection par sondages, nous avons constaté les parties de minéralisation telles que 5,4g/tAu (la section de 1m) et 1,1g/tAu (la section de 2m). Parmi les échantillons de minerai, nous avons confirmé la haute teneur de 8,8g/tAu.

Le type de l'or-pyrite accompagne un peu de pyrite (<1 vol.%) comme minéral sulfuré. Les minéraux altérés se constituent de la combinaison : le quartz+la muscovite+le chlorite+la tourmaline+le rutile+la calcite. Dans la prospection par sondages, nous avons obtenu la teneur de 1,7g/tAu (la teneur moyenne dans la section de 8m ; la teneur maximale de la section de 1m est 5,1g/tAu). De plus, parmi les échantillons de minerai (largeur d'environ 10cm), nous avons constaté la haute teneur de 19,2g/tAu.

En ce qui concerne la cause de la genèse de la zone de minéralisation dans la présente zone, nous avons présumé que la fissure et la schistosité dans la direction de NO-SE sont

devenues ouvertes, à cause du mouvement latéral de la faille d'ONO-ESE, et que la solution minéralisatrice y a pénétré. D'après l'examen de la relation entre la structure régionale de la géologie et la minéralisation, il est probable que la faille de la direction d'ONO-ESE joue un rôle important pour la minéralisation non seulement dans la zone de Diamou, mais aussi dans la région entière de Baoulé-Banifing. Nous croyons qu'il est important d'avancer les recherches de ce point de vue.

1-3 Les zones de Kouloukoro, Siriba Sobala, Torokoro, Kalako, Sirikoro et Banifing Baolé

Nous avons effectué la lecture de la géologie par les photos aériennes, la prospection géologique, et la prospection géochimique dans ces six zones. En examinant ces résultats et le résultat du levé magnétique aérien et des recherches radioactives, nous avons obtenu le résultat suivant.

- (1) La zone de Sirikoro : Nous avons extrait l'anomalie géochimique à grande échelle (longueur de plus de 4km) dans la direction de NO-SE, et l'anomalie géochimique (longueur de plus de 3km) dans la direction d'E-O qui la croise. L'anomalie géochimique se développe le plus remarquablement dans la partie de la réunion de ces deux séries de l'anomalie. Ces dernières accompagnent tous les deux la structure linéaire. De plus, autour de ce point-là, nous avons extrait l'anomalie de potassium qui se superpose à l'anomalie géochimique.
- (2) La zone de Kalako : Nous avons extrait l'anomalie géochimique (largeur de 200m~500m×longueur de plus de 2,0km) dans la direction d'ONO-ESE. En outre, nous avons extrait l'anomalie de potassium qui se superpose à l'anomalie géochimique. L'anomalie géochimique se situe à l'extrême sud de la structure linéaire de la série ONO-ESE qui se prolonge de plus de 15km.
- (3) Kouloukoro : Nous avons extrait la structure géochimique qui se trouve intensivement sur la structure linéaire de plusieurs km de longueur, en direction d'ENE-ONO. De plus, l'anomalie de potassium se répartit autour d'ici.
- (4) La zone de Siriba Sobala : Nous avons extrait bon nombre d'anomalies géochimiques à petite échelle dans cette zone. Parmi eux, certaines anomalies s'éparpillent sur la structure linéaire de plus de 20km qui a été extraite par le levé magnétique aérien. La zone de la haute densité de potassium se répartit aussi le long de cette structure linéaire.
- (5) Les zones de Torokoro et de Banifing Baolé : Dans la zone de Torokoro, nous avons extrait l'anomalie géochimique à petite échelle qui est en accord avec la structure linéaire. Dans la zone de Banifing Baolé, nous avons constaté la trace des puits à grande échelle, et un des échantillons du sol a indiqué la haute densité de 570ppb.

Section 2 Proposition pour la deuxième année des recherches

D'après le résultat des recherches de cette année, nous présentons ci-dessous la proposition pour les recherches de deuxième année.

2-1 La zone centrale de minéralisation dans Diamou

Nous proposons comme les plus prioritaires les recherches en vue de clarifier l'étendue de gisement et de la situation géologique dans la zone centrale de minéralisation que nous avons constatée par les recherches de cette année, et de trouver une nouvelle zone de minéralisation.

Dans cette zone, nous avons constaté l'anomalie géochimique à grande échelle (longueur 4,5km, largeur 1km), et, au moyen de la prospection par sondages, nous avons extrait la partie de la haute teneur de largeur d'environ 200m, et de longueur d'au moins 3km (la zone centrale de minéralisation). Cependant, comme les points du sondage effectué cette année ont l'écartement de 500~1.400m, et la densité globale de recherches est basse, nous ne pouvons pas évaluer assez suffisamment si cette zone est prometteuse ou non.

C'est pourquoi il faut effectuer la prospection plus détaillée, et de clarifier l'étendue et la répartition de la teneur de la zone centrale de minéralisation, et l'existence de la zone de minéralisation.

En tant que méthode de recherches pour cet objectif, nous proposons la prospection par tranchées en vue de la situation géologique autour de la surface de la terre, et la prospection par sondages pour l'exploration de la partie profonde.

La disposition des lignes de la prospection par tranchées doit être fixée afin de saisir la répartition de la teneur et l'étendue de la zone centrale de minéralisation dans la direction de NO-SE, et de localiser la zone de minéralisation inconnue qui devrait se situer dans la même direction ou dans la direction d'ONO-ESE. Plus concrètement, nous fixons la ligne de projet dans la direction de N45°E, et la longueur de chaque ligne jusqu'au bout de l'étendue de l'anomalie géochimique. Nous déterminons en principe l'écartement des lignes avoisinantes mutuellement de projet comme 250m (la moitié des lignes de sondage ayant été effectué). Si nous localisons la zone de minéralisation, nous allons examiner de serrer davantage l'écartement autour de cette zone. Nous fixons la partie extrême sud des lignes de projet à la position à l'écart de 250m depuis la ligne de sondage RC où nous avons localisé la zone de minéralisation, et faisons accorder la partie extrême nord avec la partie frontière de l'anomalie géochimique.

Comme l'exploration a relativement avancé, nous proposons le carottage comme prospection par sondages. Nous allons fixer la profondeur et la position de carottage, en examinant le résultat de la prospection par puits ainsi que les données existantes. Ensuite, nous allons effectuer le carottage.

2-2 Les autres zones que Diamou

Du point de vue du caractère de minéralisation qui est présumé dans la région de Baoulé-Banifing, l'index de la zone prometteuse est comme suit : ① l'anomalie géochimique est extraite sur la structure linéaire ; ② il existe l'anomalie de potassium qui peut être interprétée comme la zone d'altération. Dans les zones de Sirikoro et de Kalako, ces conditions sont remplies. D'ailleurs, l'anomalie géochimique à grande échelle y a été extraite. C'est la raison pour laquelle ces deux zones ont la priorité pour les recherches de l'année prochaine. Les zones de Kouloukoro et de Siriba Sobala sont secondairement prioritaires après Sirikoro et Kalako. Dans ces zones, nous proposons les recherches comme suit.

① La zone de Sirikoro : La prospection par sondages en vue de confirmer la zone de minéralisation à la profondeur, et la prospection par tranchées afin de constater l'étendue de la partie minéralisée.

Le but principal est l'anomalie géochimique de la série de NO-SE qui est plus grande entre les deux directions de l'anomalie géochimique. Comme cette anomalie géochimique est d'environ 500m de largeur, et de plus de 4km de longueur, nous allons effectuer les recherches en deux étapes. Dans la première étape, nous allons effectuer la prospection par sondage RC et la prospection par tranchées afin de préciser la zone prometteuse. Dans la deuxième étape, nous allons effectuer le carottage dans ces zones précisées afin de confirmer l'étendue de la zone de minéralisation et la situation géologique.

Dans le sondage RC de la première étape, nous allons prolonger les lignes du projet dans la direction de NE-SO qui croisent à angle droit le prolongement de l'anomalie géochimique, et fixer l'écartement entre chaque ligne afin de couvrir l'anomalie géochimique entière par plusieurs lignes. Sur chaque ligne, l'écartement entre les sites de sondage sera en principe 100m. Nous allons forer les tranchées sur les lignes de mesure de sondage RC et entre ces lignes de mesure. Nous allons effectuer le carottage après avoir examiné le résultat de sondage RC et de la prospection par puits.

② La zone de Kalako : Nous proposons la prospection détaillée de la géochimie, la prospection par tranchées, et la prospection par puits.

- ③ Les zones de Kouloukoro et de Siriba Sobala : D'après le résultat des recherches de la première année, la zone de minéralisation devrait exister dans ces deux zones. Mais, comme l'étendue de l'anomalie géochimique est relativement petite, nous les avons évaluées moins prioritaire que ① et ②. En tant que méthode de recherches, nous proposons la prospection par puits et la prospection par tranchées. Pourtant, sur le plateau de latérite, nous proposons d'utiliser aussi le sondage par la machine de tarière.
- ④ La zone de Torokoro : L'anomalie géochimique a été extraite sur la structure linéaire, et les recherches additionnelles (la prospection par puits) sont préférables. Cependant, comme l'étendue de l'anomalie géochimique est petite, elle est moins prioritaire que les zones ci-dessus.
- ⑤ La zone de Banifing Baolé : Compte tenu de la trace à grande échelle de l'extraction par les riverains, la zone de minéralisation devrait exister. Il faut effectuer le sondage court afin de saisir la situation géologique. Toutefois, comme le caractère de la zone de minéralisation n'est pas clair, cette zone n'a pas de priorité pour les recherches de l'année prochaine.
- ⑥ Les autres zones (la zone au nord de Torokoro et la zone à l'ouest de Kalako) : Bien que ces zones n'aient pas fait l'objet de la prospection détaillée de la géochimie de cette année, nous avons reconnu la relation entre la structure linéaire et la zone de la haute densité de l'or dans le sol. Ainsi, nous proposons fortement d'effectuer dorénavant la prospection détaillée de la géochimie dans ces zones. A l'occasion des prochaines recherches dans la zone de Kalako, nous pourrions effectuer efficacement les recherches, en rassemblant intensivement les techniciens et les équipements.

Bibliographie

- Barros de Oliveira, S. M., Trescases, J. J and José Melfi, A. (1992), Lateritic nickel deposits of Brazil: *Mineralium Deposita*, v. 27, p. 137-146.
- Bassot J. P. et, al (1980). Carte géologique du Mali à 1/1500000. Ministère du Développement industriel. Direct. Nat. Min., Mali.
- Bassot J. P. et, al (1980). Le gisement d'or de Kalana (République du Mali). *Chron. Rech. Min., Fr.*, n457, pp. 5-18
- Bassot J. P. et, al (1981). Notice explicative de la carte géologique à 1/1 500000 de la République du Mali. BRGM-DNGM Mali.
- BRGM(1989).Minéralisations aurifères de l'Afrique de l'ouest.Department cartographie du B.R.G.M.
- Bowell R.J., Afleh E.O., Laffoley N.d'A., Hanssen E., Abe S., Yao R.K., and Pohl D.(1996) : Geochemical exploration for gold in tropical soils-four contrasting case studies from West Africa. Transaction; Institute of mining and metallurgy, section B, Applied Earth Sciences.
- Bridges E. M.(1978) : *World soils*,pp.128, Cambridge University Press.
- Butt, C. R. M. (1988). Genesis of Supergene Gold Deposits in the Lateritic Regolith of the Yilgarn Block, Western Australia. *Eco. Geo. Mon6.*,p460
- 物理探査学会(1998) : 手法編 第9章 磁気探査, 物理探査ハンドブック, p475-518.
- 物理探査学会(1989) : 手法編 6 磁気探査, 図解物理探査, p47-52.
- Colin F. Viellard P. and Ambrossi J.P. (1993): Quantitative approach to physical and chemical gold mobility in equatorial rainforest lateritic environment. *Erth Planet. Sci. Lett.*, 114,269-85.
- DICKO M. T. (1977). Prospection préliminaire de la croute d'altération du gisement d'or de Kalana (Mali). *Mém. Fin d'études ENI, Bamako, Mali.*
- Dahanayake, K. (1982), Laterites of Sri Lanka-A Reconnaissance Study : *Mineralium Deposita*, v. 17, p. 245-256.
- Davies, T. C. and Bloxam, T. W. (1979). Heavy Metal Distribution in Laterites, Southwest of Regent, Freetown Igneous Complex, Sierra Leone. *Eco. Geo*, vol74, num3, 638p.
- Diallo M. (1979). Caractéristiques géochimiques et conditions de concentration de l'or ; cas du gisement de Kalana (Mali). Thèse doct. (Ph. D.), URSS.
- Diallo M., et, al (1989). Tectonique transcurrente et évolution polycyclique dans le Birrimien, Protérozoïque inférieur, du Sénégal-Mali (Afrique de l' Ouest). *C. R. Acad. Sci. Fr.*, 308, sér. II, pp. 117-122
- Dommanget A et, al(1985). Un nouveau type de gisement d'or : Loulo (Mali). *Chron. Rech. min., Fr.*, n481, pp.5-18 Translated into English in a special issue of the *Chron. Rech. min., Fr.* (Jury, 1989).
- Dommanget A et, al(1987). Compte rendu de mission en Cote-d'Ivoire et au Mali. Note BRGM/DEX, Fr, n1336

- Dommanget A et, al(1986). Le gisement de Loulo (Mali) : un exemple de concentration aurifère stratiforme dans des grés à tourmaline du Birrimien de l'Afrique de l'Ouest. CIFEG, publication occasionnelle, n10, pp. 123-130
- Dommanget A et, al(1989). Découverte d'un gisement d'or encaissé dans des turbidites tourmalinisées, (Mali). (A paraître)
- Dommanget, A., Milési, J. P., and Diallo, M., (1993), The Loulo gold and tourmaline-bearing deposit ; a polymorph type in the Early proterozoic of Mali(West Africa) : *Mineralium Deposita*, v. 28, p. 253-263.
- Dostal, J. and Dupuy, C. (1987). Gold in Late Proterozoic Andesites from Northwest Africa. *Eco. Geo*, vol82, num3, 762p
- Duchaufour Ph. (1984): *Abreges de Pedologie*, Masson, (Nagatsuka S., Japanese edition, Hakueisya 1988)
- Eisenlohr, B. N. (1992), Conflicting evidence on the timing of mesothermal and paleoplacer gold mineralisation in early Proterozoic rocks from southwest Ghana, West Africa : *Mineralium Deposita*, v. 27, p. 23-29
- Frakes L. A. : *Climate through geologic time*(Amsterdame: Elsevier), 1979, 310 p.
- Funk and Wagnalls Corp. (1993-1995): "Mali, Republic of", in Microsoft(R) Encarta 1996 [CD-ROM]
- Gardner L. R.(1970) : *American Mineralogist*. Vol.55, p1380.
- Hatta Tamao(1994) : *Simulation of Mass Transfer on Weathering Process. Journal of Clay Science Society of Japan*, Vol.34, pp.165-174.(in Japanese)
- Hinze, W. J. (1990) : *The role of gravity and magnetic methods in engineering and environmental studies*, Edited Ward, S. H. , *Geotechnical and Environmental Geophysics*, p.75-126, Society of exploration geophysicists.
- Huot, D. Sattran, V. and Zida, P. (1987). Gold in Birrimien Greenstorn Belts of Burkina Faso, West Africa. *Eco. Geo*, vol82, num8, p2033.
- Iamgold(1998):Iamgold, Annual Report.120p.
- Iamgold(1999):):Iamgold ,Annual Report.115p.
- 国際協力事業団・金属鉱業事業団(1992-1994) : マリ共和国ブグニ地域資源開発協力基礎調査報告書 (平成4～6年)
- 国際協力事業団・金属鉱業事業団(1998-2000) : マリ共和国ケコロ・バオレ・バニフィンブ地域資源開発協力基礎調査報告書(平成10～12年度)
- Lajoinie J.P.,Fontelle M.(1968).-Un gite de skarns latérisés : le gite aurifère d'Ity (Côte-d'Ivoire). *Chron mines d'outre-mer*, n 378, pp. 143-153.
- Lajoinie J.P.,Grassaud J.(1962).-Un exemple de gisement d'or latéritique : Ity(Côte-d'Ivoire). *Rap. BRGM* Inédit, 8p.
- Ledru P. et, al (1987). The Proterozoic Linguekoto fan delta, Sénégal-Mali : its occurrence, development and regional implications. Oral comm., cong. « Fan Delta and Tectonic setting », Norvège.

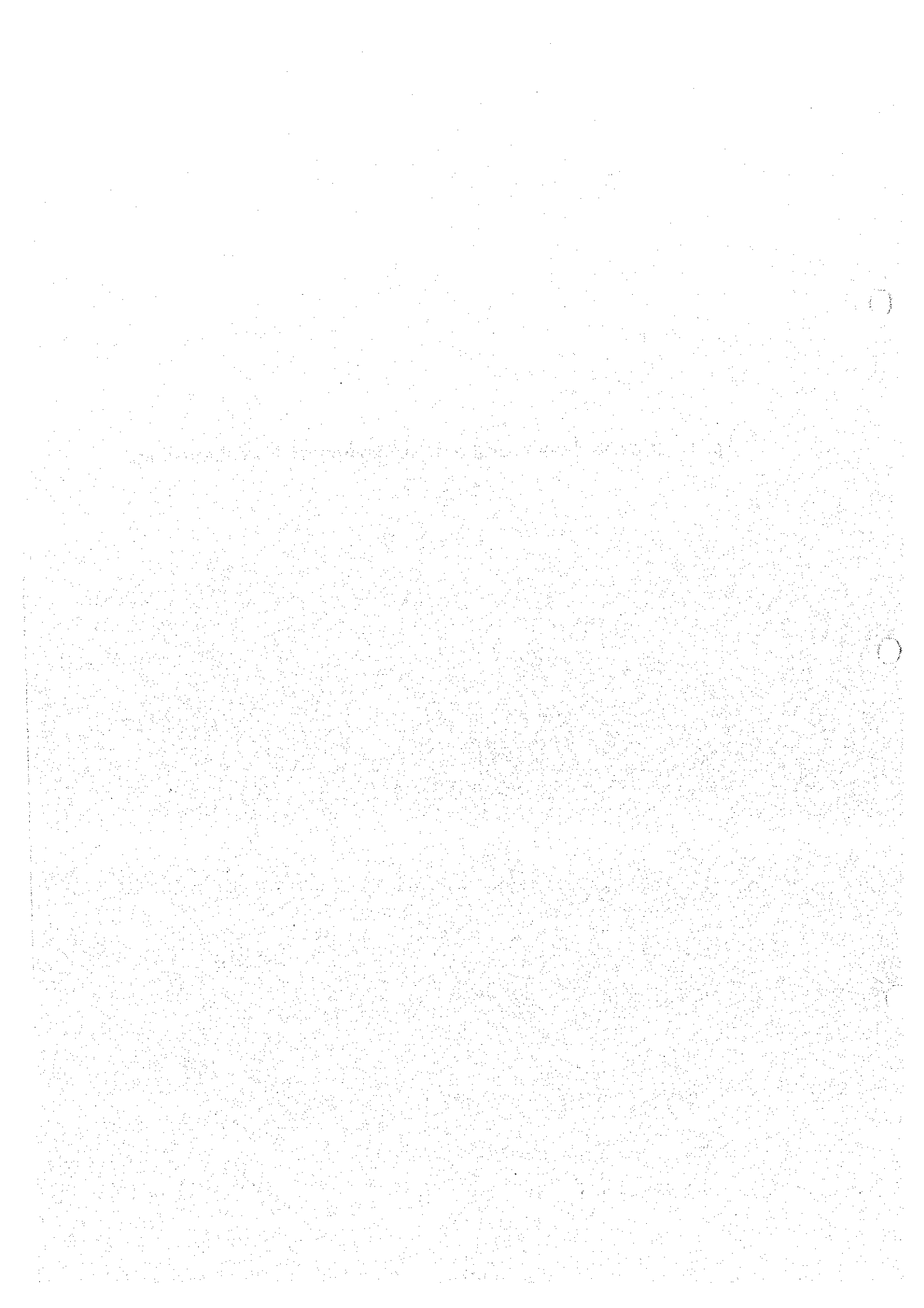
- Mann, A. W. (1984), Mobility of Gold and Silver in Lateritic Weathering Profiles : Some Observations from Western Australia. *Eco. Geo.*, vol79, num1, p38
- Marcoux, E and Milesi, J. P. (1993). Lead Isotope Signature of Early Proterozoic Ore Deposits in Western Africa : Comparison with Gold Deposits in French Guiana. *Eco. Geo.*, vol88, num7, p1862
- Michailidis, K. M. (1990), Zoned chromites with high Mn-contents in the Fe-Ni-Cr-laterite ore deposits from the Edessa area in Northern Greece : *Mineralium Deposita*, v. 25, p. 190-197
- Michel, D., (1987), Concentration of gold in in situ laterites from Mato Grosso : *Mineralium Deposita*, v. 22, p. 185-189
- Milesi J. P. et, al (1989). Diversity of magmatic and tectonic setting in lower Proterozoic of West Africa (Senegal-Mali boundary) : Low-K tholeiites and calcalkalines suites. Abstracts, 28th Int. Geol. Cong., Washington, USA, Jury 9-19, 2-3, p. 434
- Milesi J. P. et, al (1989). Lower Proterozoic succession in Senegal and Mali (West Africa) : Position of sediment-hosted Au and Fe deposits of Loulo area and significance in terms of crustal evolution. Abstracts, 28th Int. Geol. Cong., Washington, USA, Jury 9-19, 2-3, pp. 433-434
- Milési, J. P., Ledru, P., johan, V., Marcoux, E., and Vinghon, Ch., (1991) : The metallogenic relationship between Birrimien and Tarkwaian gold deposits in Ghana : *Mineralium Deposita*, v. 26, p. 228-237
- Mohr E. C. J., van Baren F. A. and van Schuylenborgh J.(1989) : Mali gold jv. *Mining Magazine*, 160, n 4, p. 257
- Mumin, A. H., Fleet, M. E., and Chryssoulis, S. L. (1994) : Gold mineralization in As-rich mesothermal gold ores of the Bogosu-Prestea mining district of the Ashanti Gold Belt, Ghana : remobilization of "invisible" gold : *Mineralium Deposita*, v. 29, p. 445-460.
- Nahon, D., Paquet, H. and Delvigne, J.(1982) :Lateritic Weathering of Ultramafic Rocks and the Concentration of Nickel in the Western Ivory Coast. *Eco. Geo*, vol77, num5, 1159p.
- Nielson, D. L., Linpei, L., Wards S. H. (1990) : Gamma-ray spectrometry and radon emanometry in environmental geophysics, Edited Ward, S. H. , *Geotechnical and Environmental Geophysics*, p.75-126, Society of exploration geophysicists.
- 二平聡・今泉眞之(1999):放射能探査の測定原理と調査事例., *農土誌*, 第 67 卷, 第 11 号, p.1183-1190.
- Olson, S. F. et,al (1992) : Resional Setting, Structure, and Descriptive Geology of the Middle Proterozoic Syama Gold Deposit, Mali, West Africa. *Eco. Geo.*, vol87, num2, p310
- 大津秀夫・窪田亮・松田陽一(1984) :地化学データの頻度分布分割法, *鉱山地質*, 第 34 卷, 第 183 号, p.51-56.
- Paul J.Golightly(1981): *Nickeliferous Laterite Deposits*, *Economic Geology*, 75th Anniversary Volume,pp.710-735.
- Permingeat F., et, al (1970) : Carte des gites minéraux de la République du Mali à 1/10,000,000, inédite.
- Republic of Mali / United Nations (1987) : *Mineral Resources of MALI*

- Roest, W. R., Verhoef, J. and Pikington M. (1992) : Magnetic interpretation using 3-D analytic signal, *Geophysics*, Vol. 57, No.1, p.116-125.
- Schellmann, W. (1989) : Composition and origin of lateritic nickel ore at Tagaung Taung, Burma : *Mineralium Deposita*, v. 24, p. 161-168
- Soil Survey Staff (1967): *Soil taxonomy*, U.S. Department of Agriculture, Washington DC.
- The Software Toolworks, Inc. (1991-1994): *World Atlas ver.4* [CD-ROM]
- Traore H., et al (1978) : Plan minéral de la République du Mali. Direct. Nat. min., géol., Bamako, BRGM, 631p. *Tropical soils*, 3rd edition Mouton,
- Vinchon C. et al (1986) : Caractérisation lithostructurale de deux ensembles successifs dans les séries Birrimiennes de la boutonnière de Kédougou (Mali-Sénégal) et du Niandan (Guinée) ; implications géologiques. CIFEG, publication occasionnelle, n 10, pp. 113-121
- West D and Witherly K.(1995) : Geophysical exploration for gold in deeply weathered terrains ;two tropical cases. *Exploration Geophysics*, voo.26, p.124-130
- Zang, W. and Fyfe, W.(1993) : A Three-Stage Genetic Model for the Igarapé Behia Lateritic Gold Deposit, Carajás, Brazil. *Eco. Geo.*, vol88, num7, p1768
- Zeegers H.and Leduc C.(1991): Geochemical exploration for gold in temperate, arid and tropical rain forest terrains. In *Gold metallogeny and exploration*. Foster R.P. (Glasgow: Blackie,1991), 309-35.
- Zelssink, H. E. (1969) : The Mineralogy and Geochemistry of a Nickeliferous Laterite Profile (Greenvale, Queensland, Australia) : *Mineralium Deposita*, v. 4, p. 132-152

Annexes

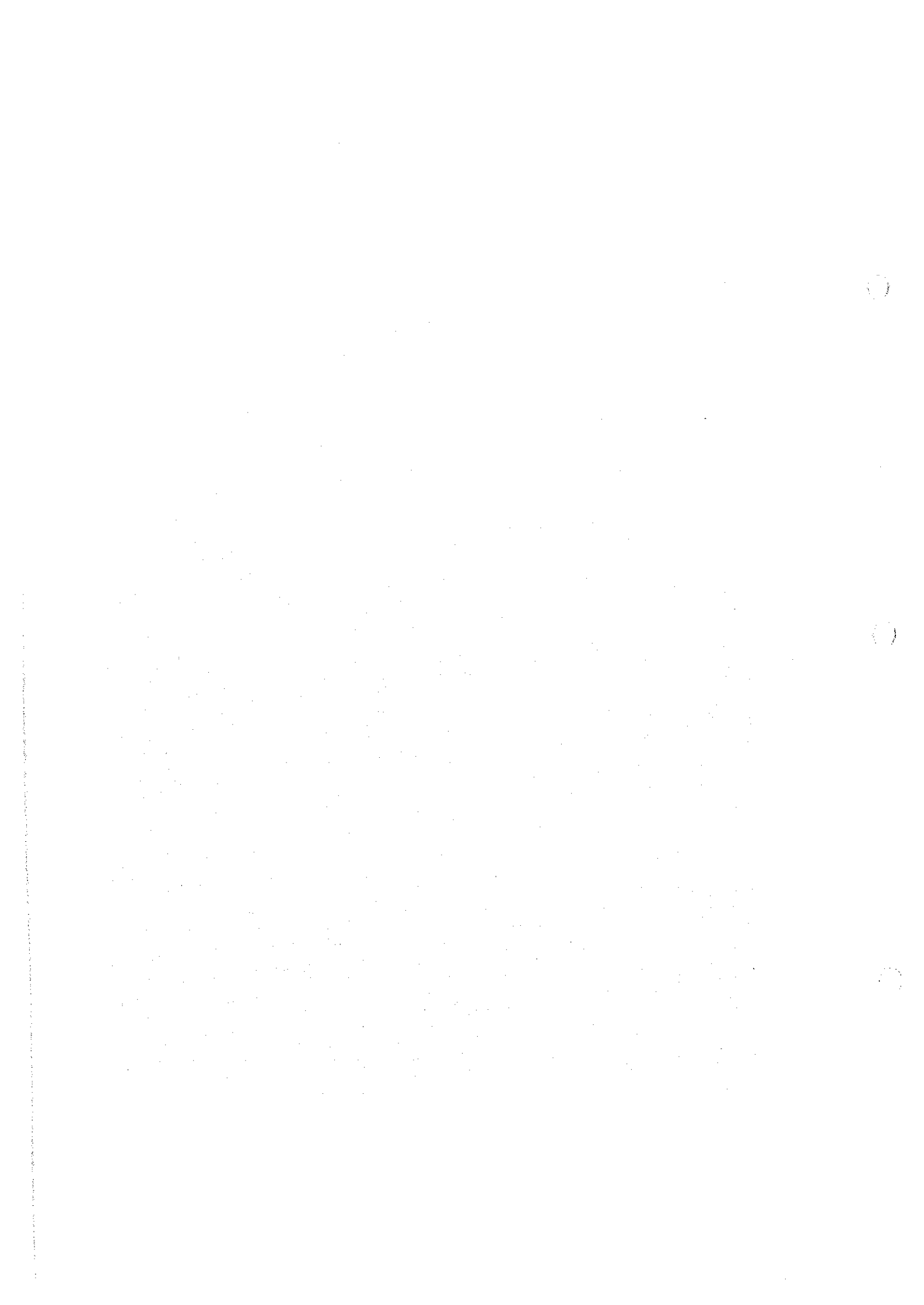
- Ap. 1 la carte de la position du prélèvement des échantillons
- Ap. 2 la carte de colonne des puits
- Ap. 3 le profil de l'enrichissement d'Au (puits)
- Ap. 4 la carte de colonne de RC
- Ap. 5 le profil de l'enrichissement d'Au (RC)
- Ap. 6 la carte de colonne de sondage diamant
- Ap. 7 le profil de l'enrichissement d'Au, As (le sondage diamant)
- Ap. 8 le résultat du sondage RC et le tableau de procédé
- Ap. 9 la liste des équipements et les biens consommables utilisés pour
le sondage RC et de leur quantité
- Ap. 10 la liste du résultat et du tableau de procédé du sondage diamant
- Ap. 11 la liste des équipements et des biens consommables utilisés pour
le sondage diamant et de leur quantité
- Ap. 12 la liste du résultat de l'analyse microchimique
- Ap. 13 la liste du résultat de l'analyse chimique
- Ap. 14 la liste du résultat de l'examen de l'analyse de rayons X pour
les poudres
- Ap. 15 le résultat de l'examen de l'inclusion fluide
- Ap. 16 la carte de la répartition de la fréquence cumulative d'Au

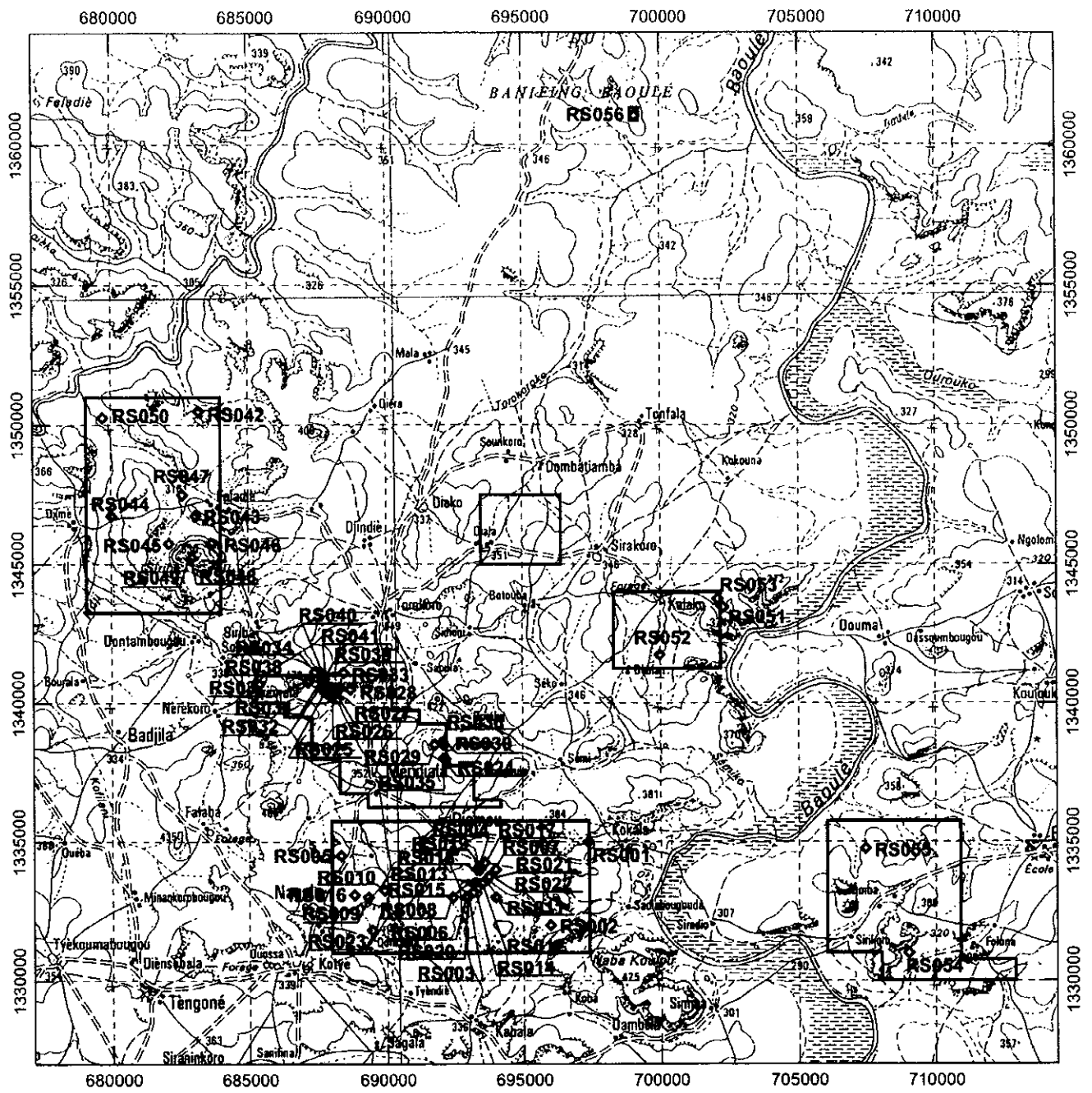
Ap. 1 la carte de la position du prélèvement des échantillons



Rock sample List

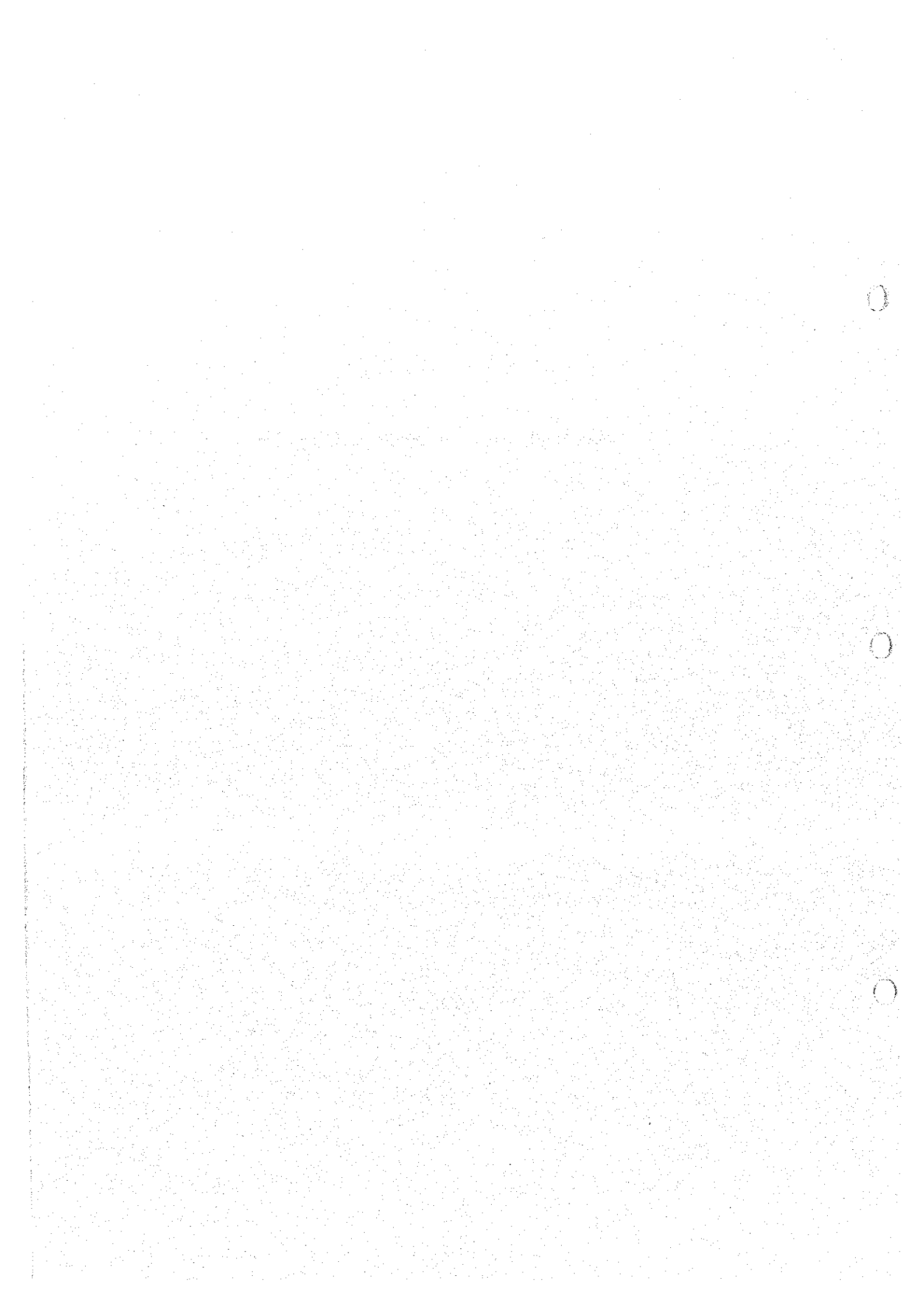
Sample No.	Field Name	Location	Area	Line Name	Easting	Northing
RS001	Sandstone	Outcrop	Diamou	D	697370	1335000
RS002	Gabbro	Float	Diamou	P	695970	1332000
RS003	Dacite	Outcrop	Diamou	L	692966	1333010
RS004	Schist	Outcrop	Diamou	H	693400	1334000
RS005	Gabbro	Dyke	Diamou	F	688330	1334500
RS006	Gabbro	Float	Diamou	L	692900	1333010
RS007	Schist	Outcrop	Diamou	H	694000	1334000
RS008	Andesite	Dyke	Diamou	L	692400	1333000
RS009	Gabbro	Dyke	Diamou	L	689300	1333000
RS010	Gabbro	Dyke	Diamou	K	689900	1333250
RS011	psamitic(fng) schist	D-Pit-56	Diamou	L	694000	1333000
RS012	psamitic(fng) schist	D-Pit-43	Diamou	J	693500	1333500
RS013	psamitic(fng) schist	D-Pit-68	Diamou	J	693200	1333500
RS014	Gabbro	in situ float	Diamou	K/L	693170	1333200
RS015	psamitic(fng) schist	outcrop	Diamou	J/K	693179	1333472
RS016	Gabbro	in situ float	Diamou	K/L	688800	1333080
RS017	psamitic schist +Qz	DPIT-6	Diamou	G	693600	1334250
RS018	psamitic schist +Qz	DPIT-13	Diamou	H	693300	1334000
RS019	meta-volcanic?	DPIT-14	Diamou	H	693400	1334000
RS020	Hornfels?	outcrop	Diamou	L	692946	1333005
RS021	Porphry	old pit	Diamou	I	693760	1333747
RS022	Porphry	Outcrop	Diamou		693731	1333743
RS023	Granite	Float	Diamou		689435	1331820
RS024	Gabbro	Outcrop	Kouloukoro	M	692150	1338000
RS025	Pegmatite	Float	Kouloukoro	C	687920	1340500
RS026	Schist	Outcrop	Kouloukoro	C	688120	1340500
RS027	Dolerite	Float	Kouloukoro	C	688250	1340500
RS028	Schist	Outcrop	Kouloukoro	C	688680	1340500
RS029	Gabbro	Outcrop	Kouloukoro	L	691760	1338500
RS030	Gabbro	Outcrop	Kouloukoro	K	692100	1338500
RS031	Pegmatite	Outcrop	Kouloukoro	B	687700	1340750
RS032	Dacite	Outcrop	Kouloukoro	B	687700	1340750
RS033	psamitic(fng) schist	outcrop	Kouloukoro	A/B	688440	1341100
RS034	psamitic(csg) schist	outcrop	Kouloukoro	A/B	687420	1241120
RS035	Gabbro	outcrop	Kouloukoro	N	692090	1338000
RS036	Gabbro	outcrop	Kouloukoro	K/L	692050	1338600
RS037	Sandstone	float	Kouloukoro	B	687164	1340753
RS038	Mica schist	in situ float	Kouloukoro	B	687211	1340821
RS039	Pegmatite	Outcrop	Kouloukoro	B	687672	1340798
RS040	meta-volcanic?	Outcrop	Kouloukoro	A	687698	1340931
RS041	gneiss like sediment	Outcrop	Kouloukoro	B	687729	1340871
RS042	Granite	Outcrop	Siliba-S	C	683200	1350500
RS043	Andesite?	Outcrop	Siliba-S	R	683080	1346750
RS044	Schist	Float	Siliba-S	R	680000	1346750
RS045	Schist	Outcrop	Siliba-S	V	682100	1345750
RS046	Felsic tuff	Outcrop	Siliba-S	V	683650	1345750
RS047	Dolerite	Outcrop	Siliba-S	O	682600	1347500
RS048	Quartz	Outcrop	Siliba-S	X	682950	1345250
RS049	Graywacke	Outcrop	Siliba-S	X	682950	1345250
RS050	Gabbro	Outcrop	Siliba-S		679700	1350270
RS051	Meta-sandstone	Float	Siliba-S		691490	1338966
RS052	Dacite	Dyke	Kalako	Outside	702300	1343450
RS053	Gabbro	outcrop	Kalako	J	699975	1341745
RS054	Pegmatite	Float	Kalako	B	702100	1343750
RS055	Gabbro	Float	Sirikoro	T	709000	1331000
RS056	Schist	Outcrop	Sirikoro		707391	1334763
RS057	Sandstone	Float	BB		699102	1361020
RS058	Schist	Outcrop	Morila		734293	1292045
RS059	Schist	Outcrop	Morila			





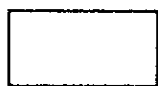
Ap.1 Location of rock samples

Ap. 2 la carte de colonne des puits

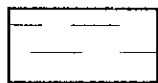


Index

Abbreviations



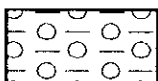
Surface soil



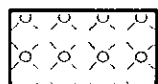
Recent sediments



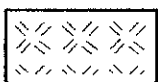
Hard carapace



Soft carapace



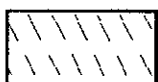
Mottled clay zone



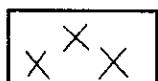
Saprolite



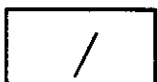
Pelitic schist



Psammitic schist



Igneous rock



Quartz vein

Bi : Birrimien

sch : schist

late. : laterite

hem : hematite

lim : limonite

qtz : quartz

bio : biotite

sil : silicification

peb : pebble

cob : cobble

mtx : matrix

vfg : very fine grained

fng : fine grained

mdg : medium grained

csg : coarse grained

sub. round : sub-rounded

sub. ang : sub-angular

whred : weathered

text : texture

l- : light-

s- : surface-


st : strong

ptly : partly

bg : bearing

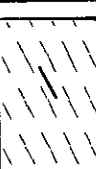
D-Pit-1

G-Line
Loc. E:693100 N:1334250

Scale	Column	Depth (m)	Horizon	Description	Sample	Au (ppb)
			s-soil	gray	D-Pit-1-1 (0.00-0.50)	18
1		0.50	psamitic schist	0.90 yellowish reddish brown st-weathered	D-Pit-1-2 (0.50-0.90)	33
2				greenish gray csg Birimien fresh N7W62Edip qtz. v 2-5mm 4v/10cm	D-Pit-1-3 (0.90-2.00)	23
3		2.00				
4						
5						

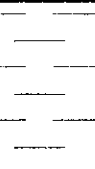

D-Pit-2

G-Line
Loc. E:693200 N:1334250

Scale	Column	Depth (m)	Horizon	Description	Sample	Au (ppb)
		0.10	s-soil	gray	D-Pit-2-1 (0.00-0.10)	<1
1			psamitic schist	l-yellowish brown Birimien N18W78Edip qtz. v 3mm 2v/10cm	D-Pit-2-2 (0.10-1.20)	2
2		1.20				
3						
4						
5						

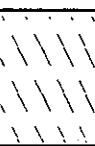
D-Pit-3

G-Line
Loc. E:693300 N:1334250

Scale	Column	Depth (m)	Horizon	Description	Sample	Au (ppb)
1		1.20	recent sediments	reddish brown poor-sorted horizontal sedimentation	D-Pit-3-1 (0.00-0.30)	5
					D-Pit-3-2 (0.30-1.20)	10
2		2.10	psamitic schist	gray Birimien mdg N7W74Edip qtz. v 2-5mm 5v/10cm	D-Pit-3-3 (1.20-2.10)	<1
3						
4						
5						


D-Pit-4

G-Line
Loc. E:693400 N:1334250

Scale	Column	Depth (m)	Horizon	Description	Sample	Au (ppb)
1		0.10	s-soil	l-yellowish gray	D-Pit-4-1 (0.00-0.10)	16
			psamitic schist	l-yellowish gray Birimien mdg N14W72Edip	D-Pit-4-2 (0.10-0.50)	<1
					D-Pit-4-3 (0.50-1.00)	13
2		1.00				
3						
4						
5						


D-Pit-5

G-Line
Loc. E:693500 N:1334250

Scale	Column	Depth (m)	Horizon	Description	Sample	Au (ppb)
1		0.20	s-soil	yellowish gray	D-Pit-5-1 (0.00-0.20)	12
				0.30 weathered	D-Pit-5-2 (0.20-0.30)	2
		2	psamitic schist	greenish gray Birimien fng N30W72Edip white mica bg qtz. v 1-3mm 2v/10cm	D-Pit-5-3 (0.30-1.20)	<1
					D-Pit-5-4 (1.20-2.00)	<1
2		2.00				
3						
4						
5						


D-Pit-6

G-Line
Loc. E:693600 N:1334250

Scale	Column	Depth (m)	Horizon	Description	Sample	Au (ppb)	
1		0.10	s-soil	yellowish gray	D-Pit-6-1 (0.00-0.10)	<1	
				l-reddish brown	D-Pit-6-2 (0.10-0.50)	<1	
		2	psamitic schist	Birimien 0.50 N18W64Edip qtz. v 2-5mm 3v/10cm	pinkish brown	D-Pit-6-3 (0.50-0.90)	2
						D-Pit-6-4 (0.90-1.25)	<1
2		1.25					
3							
4							
5							



D-Pit-7

G-Line
Loc. E: 693700 N: 1334250

Scale	Column	Depth (m)	Horizon	Description	Sample	Au (ppb)	
1		0.13	s-soil	gray	D-Pit-7-1 (0.00-0.13)	2	
			pelitic schist	reddish brown weathered	D-Pit-7-2 (0.13-0.50)	1	
		1.10			l-yellowish brown whred N6W68Edip	D-Pit-7-3 (0.50-0.80)	<1
					qtz. v 2-10mm 3v/10cm	D-Pit-7-4 (0.80-1.10)	<1
2							
3							
4							
5							






D-Pit-8

G-Line
Loc. E: 693800 N: 1334250

Scale	Column	Depth (m)	Horizon	Description	Sample	Au (ppb)	
1		0.10	s-soil	yellowish gray	D-Pit-8-1 (0.00-0.10)	44	
		0.30	soft carapace	reddish brown	D-Pit-8-2 (0.10-0.30)	<1	
1		1.10	saprolite	l-reddish brown hem, qtz pnb rounded 1cm-	D-Pit-8-3 (0.30-0.60)	1	
2				1.40	yellow 1.50m: brecciated qtz. v w=3cm N84W45Sdip?	D-Pit-8-4 (0.600-1.40)	7
3				2.40	reddish brown brecciated qtz bg	D-Pit-8-5 (2.40-3.80)	5
4				3.80	white brown	D-Pit-8-6 (3.80-5.00)	9
5				5.00			






D-Pit-9

G-Line
Loc. E:693900 N:1334250

Scale	Column	Depth (m)	Horizon	Description	Sample	Au (ppb)	
		0.30	s-soil	yellowish gray	D-Pit-9-1 (0.00-0.30)	<1	
1		0.30	soft carapace	1-reddish brown qtz, hem peb	D-Pit-9-2 (0.30-0.90)	31	
				1.60	1-brown	D-Pit-9-3 (0.90-1.60)	<1
2		2.30	saprolite	yellow white breccia 1.5-2cm bg soften to downward	D-Pit-9-4 (1.60-2.30)	6	
3						D-Pit-9-5 (2.30-3.00)	<1
						D-Pit-9-6 (3.00-3.80)	<1
4		3.80	saprolite	white powder like massive	D-Pit-9-7 (3.80-5.00)	<1	
5							
		5.00					

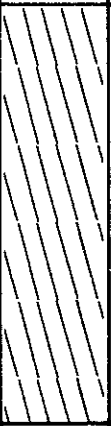
D-Pit-10

G-Line
Loc. E:694000 N:1334250

Scale	Column	Depth (m)	Horizon	Description	Sample	Au (ppb)
			s-soil	yellowish gray late. peb bearing	D-Pit-10-1 (0.00-0.30)	<1
1		0.30	soft carapace	reddish brown	D-Pit-10-2 (0.30-0.75)	<1
				0.75	reddish brown late. peb bg, mtx richer qtz, hem breccia bearing	D-Pit-10-3 (0.75-1.30)
2		2.00	soft carapace		D-Pit-10-4 (1.30-2.00)	55
					reddish brown soften, mtx more rich Bi. breccia bg	D-Pit-10-5 (2.00-2.80)
3		3.60	pelitic schist		D-Pit-10-6 (2.80-3.60)	93
					reddish brown saprolitic	D-Pit-10-7 (3.60-4.00)
4		4.00	pelitic schist	reddish brown ptly l-gray banding Birimien N34W65Edip weathered	D-Pit-10-8 (4.00-5.00)	3
5						
		5.00				


D-Pit-11

H-Line
Loc. E:693100 N:1334000

Scale	Column	Depth (m)	Horizon	Description	Sample	Au (ppb)	
		0.15	s-soil	gray	D-Pit-11-1 (0.00-0.15)	32	
1		3.00	pelitic schist	reddish brown strong weathered Birrimien	D-Pit-11-2 (0.15-1.40)	11	
2				1.40	greenish gray Birrimien N24W58Edip silt size	D-Pit-11-3 (1.40-2.20)	5
3						D-Pit-11-4 (2.20-3.00)	7
4							
5							


D-Pit-12

H-Line
Loc. E:693200 N:1334000

Scale	Column	Depth (m)	Horizon	Description	Sample	Au (ppb)
		0.60	s-soil	yellowish gray	D-Pit-12-1 (0.00-0.60)	739
1			1.00	1-yellow weathered	D-Pit-12-2 (0.60-1.00)	532
2		3.00	pelitic schist	greenish gray Birrimien silt N4W74Edip	D-Pit-12-3 (1.00-2.00)	10
3						D-Pit-12-4 (2.00-3.00)
4						
5						



D-Pit-13

H-Line
Loc. E:693300 N:1334000

Scale	Column	Depth (m)	Horizon	Description	Sample	Au (ppb)
1		0.18	s-soil	yellowish gray	D-Pit-13-1 (0.00-0.18)	343
			pelitic schist	reddish gray weathered Birimien silt 0.40 N24W68Edip qtz. v 2-4mm 4v/10cm	D-Pit-13-2 (0.18-0.40)	54
		1.10			D-Pit-13-3 (0.40-1.10)	18
2						
3						
4						
5						


D-Pit-14

G-Line
Loc. E:693400 N:1334000

Scale	Column	Depth (m)	Horizon	Description	Sample	Au (ppb)
1		0.20	s-soil	yellowish gray	D-Pit-14-1 (0.00-0.20)	19
			recent sediments	reddish yellow poor-sorted breccia qtz, sch, Bi, etc.,	D-Pit-14-2 (0.20-1.00)	9
		1.70			D-Pit-14-3 (1.00-1.70)	138
2		1.70	psamitic schist	greenish dark-gray fng lim stain	D-Pit-14-4 (1.70-2.40)	23
3					D-Pit-14-5 (2.40-3.00)	33
4		3.00				
5						


D-Pit-15

H-Line
Loc. E:693500 N:1334000

Scale	Column	Depth (m)	Horizon	Description	Sample	Au (ppb)
		0.30	s-soil	yellowish gray	D-Pit-15-1 (0.00-0.30)	20
1		0.80	pelitic schist	weathered greenish gray	D-Pit-15-2 (0.30-0.80)	29
2				Birimien silt N20W68Edip 1.30m:concordant lim stain 2-3m:2 shear zone? 1:w=10cm clay bg N20W55Edip 2;apart 20cm from 1 w=8cm lim clay bg	D-Pit-15-4 (0.80-1.90)	14
3					D-Pit-15-4 (1.90-3.00)	8
4		3.00				
5						


D-Pit-16

H-Line
Loc. E:693600 N:1334000

Scale	Column	Depth (m)	Horizon	Description	Sample	Au (ppb)
		0.10	s-soil	yellowish gray	D-Pit-16-1 (0.00-0.10)	6
1		0.40	psamitic schist	yellowish red weathered reddish (ptly greenish) gray Birimien fng N24W70Edip lim. hem stain breccia N10E80Edip?	D-Pit-16-2 (0.10-0.40)	7
		1.00			D-Pit-16-3 (0.40-1.00)	14
2						
3						
4						
5						


D-Pit-17

H-Line
Loc. E:693700 N:1334000

Scale	Column	Depth (m)	Horizon	Description	Sample	Au (ppb)	
1		0.20	s-soil	reddish yellow	D-Pit-17-1 (0.00-0.20)	3514	
				weathered	D-Pit-17-2 (0.20-0.35)	12	
		1.60	psamitic schist	0.35	l-yellowish reddish brown Birimien fng N20W64Edip qtz. v 3mm N66E70Sdip	D-Pit-17-3 (0.35-1.00)	7
						D-Pit-17-4 (1.00-1.60)	14
2							
3							
4							
5							

D-Pit-18

H-Line
Loc. E:693800 N:1334000

Scale	Column	Depth (m)	Horizon	Description	Sample	Au (ppb)
1		0.30	s-soil	yellowish gray	D-Pit-18-1 (0.00-0.30)	8
				reddish brown weathered	D-Pit-18-2 (0.30-1.00)	18
			1.00	reddish yellowish brown Birinien silt N24W52Edip hem(lim) stain	D-Pit-18-3 (1.00-2.00)	8
2		2.00				
3						
4						
5						

D-Pit-19

H-Line
Loc. E:693900 N:1334000

Scale	Column	Depth (m)	Horizon	Description	Sample	Au (ppb)		
1		0.15	s-soil	gray	D-Pit-19-1 (0.00-0.15)	18		
			soft carapace	yellowish reddish brown black (hem?) bg peb φ 5-10mm mtx rich to downward	D-Pit-19-2 (0.15-0.65)	11		
D-Pit-19-3 (0.65-1.50)	13							
1.50	yellow qtz breccia bg almost mtx	D-Pit-19-4 (1.50-2.00)			9			
2		2.00	saprolite	yellow Birimien origin N14W52Edip 3m:concordant lim stain turn to l-gray~l-reddish gray	D-Pit-19-5 (2.00-3.00)	6		
3					D-Pit-19-6 (3.00-4.10)	9		
4					4.10	l-greenish gray Bi. origin	D-Pit-19-7 (4.10-4.60)	4
5					4.60			





D-Pit-20

H-Line
Loc. E:694000 N:1334000

Scale	Column	Depth (m)	Horizon	Description	Sample	Au (ppb)
1		0.20	s-soil	l-yellowish gray	D-Pit-20-1 (0.00-0.20)	4
			soft carapace	yellowish reddish brown sub-ang. peb φ 2cm- black (hem?), qtz bg	D-Pit-20-2 (0.20-1.10)	8
D-Pit-20-3 (1.10-2.00)	17					
2.00	mtx rich	D-Pit-20-4 (2.00-2.50)			41	
2		3.00	saprolite	2.40m:crushed qtz. v? 2.50 mostly mtx	D-Pit-20-5 (2.50-3.00)	5
3					D-Pit-20-6 (3.00-3.70)	7
4					D-Pit-20-7 (3.70-4.40)	9
5					4.40	gray brown whred Birrimien N4W68Edip 4.50-4.80m:hem qtz. v 1cm
5		5.00				

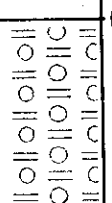
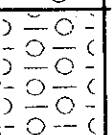
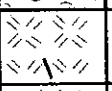

D-Pit-21

F-Line
Loc. E:692600 N:1334500

Scale	Column	Depth (m)	Horizon	Description	Sample	Au (ppb)
			s-soil	l-gray	D-Pit-21-1 (0.00-0.30)	178
1		0.30	hard carapace	reddish brown l-1.5cm peb	D-Pit-21-2 (0.30-1.40)	41
2		1.40	soft carapace	yellowish reddish brown 1.40-2.00m:hem-qtz. v 2cm E-W74Ndip	D-Pit-21-3 (1.40-2.30)	10
3		2.30	saprolite	yellowish gray~l-gray Birimien origin N14W62Edip	D-Pit-21-4 (2.30-3.80)	5
4					D-Pit-21-5 (3.80-5.00)	9
5		5.00				

D-Pit-22

F-Line
Loc. E:692700 N:1334500

Scale	Column	Depth (m)	Horizon	Description	Sample	Au (ppb)
			s-soil	l-yellow	D-Pit-22-1 (0.00-0.20)	24
1		0.20	hard carapace	reddish brown black peb rich	D-Pit-22-2 (0.20-1.50)	264
2		1.50	soft carapace	reddish brown 2.30m:qtz. v fragment	D-Pit-22-3 (1.50-2.40)	23
3		2.40	saprolite	l-gray 2.80m:hem-qtz. v	D-Pit-22-4 (2.40-2.90)	20
4		2.90	pelitic schist	l-gray~brown saprolitic Birimien N28W72Edip 3.70m~:qtz. v l-3cm 2v/15cm qtz. v 3cm 2v/30cm concordant lim, hem staintt 4.50m:qtz. v lcm	D-Pit-22-5 (2.90-3.70)	25
5					D-Pit-22-6 (3.70-5.00)	21
		5.00				

D-Pit-23

F-Line
Loc. E:692800 N:1334500

Scale	Column	Depth (m)	Horizon	Description	Sample	Au (ppb)
1		0.25	s-soil	yellowish gray	D-Pit-23-1 (0.00-0.25)	164
		1.00	hard carapace	reddish brown hard qtz fragment ϕ 1.5cm bg	D-Pit-23-2 (0.25-1.00)	71
2			soft carapace	l-reddish brown hem peb bg mtx:l-gray~reddish brown 1.60m:hem-qtz peb rich	D-Pit-23-3 (1.00-2.00)	12
3		2.00	mottled clay zone	reddish brown mtx rich	D-Pit-23-4 (2.00-2.50)	13
		4.40	saprolite	l-yellowish gray Birimien origin	D-Pit-23-5 (2.50-3.50)	8
D-Pit-23-6 (3.50-4.40)	7					
5		4.40	pelitic schist	l-gray Birimien silt N34W65Edip	D-Pit-23-7 (4.40-5.00)	5
		5.00				

D-Pit-24

F-Line
Loc. E:692900 N:1334500

Scale	Column	Depth (m)	Horizon	Description	Sample	Au (ppb)
1		1.20	recent sediments	reddish brown poor-sorted Bi. boulder qtz, hem peb bg	D-Pit-24-1 (0.00-1.20)	17
2			1.70	pelitic schist	yellowish gray whred Bi. lim stain	D-Pit-24-2 (1.20-1.70)
3		yellowish reddish gray Bi. text. not clear saprolitic			D-Pit-24-3 (1.70-2.70)	12
3		3.20			D-Pit-24-4 (2.70-3.20)	28
4					yellowish brown~ greenish gray Birimien silt N15W54Edip	D-Pit-24-5 (3.20-4.10)
5		5.00			D-Pit-24-6 (4.10-5.00)	3

D-Pit-25

F-Line
Loc. E:693000 N:1334500

Scale	Column	Depth (m)	Horizon	Description	Sample	Au (ppb)
			s-soil	l-yellowish gray	D-Pit-25-1 (0.00-0.70)	46
1		0.70	soft carapace	reddish brown mtx rich	D-Pit-25-2 (0.70-1.10)	30
2		1.10	psamitic schist	reddish brown~l-gray Birimien saprolitic lim stain 1.80-4.00m:concordant hem-qtz. v 2-10mm l2v/lm 2.10m:qtz. v fragment 2.30	D-Pit-25-3 (1.10-2.30)	15
3				l-gray	D-Pit-25-4 (2.30-3.30)	16
4					D-Pit-25-5 (3.30-4.10)	4
5					4.10 green/reddish gray Bi. N14W72Edip	D-Pit-25-6 (4.10-5.00)
		5.00				


D-Pit-26

F-Line
Loc. E:693100 N:1334500

Scale	Column	Depth (m)	Horizon	Description	Sample	Au (ppb)
			s-soil	l-gray	D-Pit-26-1 (0.00-0.10)	
1		0.10	pelitic schist	l-yellowish reddish brown strong weathered Bi. lim stain	D-Pit-26-2 (0.10-1.00)	6
2				1.90	D-Pit-26-3 (1.00-1.90)	3
3					l-gray Bi. silt N28W64Edip	D-Pit-26-4 (1.90-2.50)
4		2.50				
5						


D-Pit-27

F-Line
Loc. E:693200 N:1334500

Scale	Column	Depth (m)	Horizon	Description	Sample	Au (ppb)
1			psamitic schist	l-reddish brown Birimien mdg N8W72Edip 0.90m: concordant qtz. v 2mm 1.00m: hem-qtz. v lcm N16E32Edip	D-Pit-27-1 (0.00-0.80)	3
					D-Pit-27-2 (0.80-1.90)	4
2						
3						
4						
5						

D-Pit-28

F-Line
Loc. E:693300 N:1334500

Scale	Column	Depth (m)	Horizon	Description	Sample	Au (ppb)	
1		0.15	s-soil	l-yellowish gray	D-Pit-28-1 (0.00-0.15)	15	
			plitic schist		l-yellowish gray weathered	D-Pit-28-2 (0.15-1.15)	4
				1.15	greenish gray~ l-reddish yellowish gray whred Bi. lim stain	D-Pit-28-3 (1.15-1.90)	6
2		1.90		greenish gray Bi. N14W68Edip	D-Pit-28-4 (1.90-2.50)	2	
3		2.50					
4							
5							

D-Pit-29

F-Line
Loc. E:693400 N:1334500

Scale	Column	Depth (m)	Horizon	Description	Sample	Au (ppb)
			s-soil	reddish gray~gray	D-Pit-29-1 (0.00-0.80)	20
1		0.80	hard carapace	reddish brown φ 1cm	D-Pit-29-2 (0.80-1.60)	9
		1.60	soft carapace	brown~l-gray	D-Pit-29-3 (1.60-1.90)	10
2		1.90	saprolite	l-reddish gray~l-gray lim stain very soft	D-Pit-29-4 (1.90-3.00)	12
3		3.00		reddish brown~l-gray	D-Pit-29-5 (3.00-3.60)	12
		3.50m		concordant? lim stain N14W68Edip 7v/50cm		
		3.60			D-Pit-29-6 (3.60-4.30)	8
4		4.80m		concordant hem-qtz. v 5mm	D-Pit-29-7 (4.30-5.00)	13
5		5.00				

D-Pit-30

F-Line
Loc. E:693500 N:1334500

Scale	Column	Depth (m)	Horizon	Description	Sample	Au (ppb)
		0.40	s-soil	reddish brown Mi., qtz peb bg	D-Pit30-1 (0.00-0.40)	11
1			pelitic schist	reddish brown Bi. silt saprolitic 0.60-1.00m: qtz. v 0.6-1.0cm 3v/10cm N-S 46Edip lim bg	D-Pit-30-2 (0.40-1.70)	13
2				1.80m: lim stain 2.30m: lim-qtz. v 2mm 2.90m: lim stain 7v/1m	D-Pit-30-3 (1.70-3.10)	25
3				3.10 l-gray Bi. saprolitic 3.70m: qtz. v 5-10mm 2v/10cm	D-Pit-30-4 (3.10-4.00)	11
4				4.00 dark gray weak whred Birrimien silt N24W58Edip	D-Pit-30-5 (4.00-5.00)	18
5		4.90				

D-Pit-31

E-Line
Loc. E:692600 N:1334750

Scale	Column	Depth (m)	Horizon	Description	Sample	Au (ppb)
1		0.25	s-soil	reddish brown~l-gray	D-Pit-31-1 (0.00-0.25)	13
		1.60	hard carapace	reddish brown Bi. peb ϕ 1.5cm(max5cm) bg	D-Pit-31-2 (0.25-1.60)	22
2			soft carapace	l-reddish brown mtx rich	D-Pit-31-3 (1.60-2.20)	11
		3		mottled clay zone	l-reddish brown mostly mtx	D-Pit-31-4 (2.20-3.30)
4				3.30	saprolite	l-reddish brown partly l-gray Bi. origin N30W52Edip
		4.10				
5						

D-Pit-32

E-Line
Loc. E:692700 N:1334750

Scale	Column	Depth (m)	Horizon	Description	Sample	Au (ppb)
1		0.45	s-soil	yellowish gray sub-ang. latete. peb bg	D-Pit-32-1 (0.00-0.45)	24
		1.40	hard carapace	reddish brown rounded late. peb 1cm(max2cm)	D-Pit-32-2 (0.45-1.40)	26
2			soft carapace	l-reddish brown mtx rich	D-Pit-32-3 (1.40-2.10)	47
		3		mottled clay zone	l-reddish brown almostly mtx	D-Pit-32-4 (2.10-2.70)
4				2.70	saprolite	l-reddish brown partly l-gray text not clear
		D-Pit-32-6 (3.80-4.90)	36			
5		4.90				

D-Pit-33

E-Line
Loc. E:692800 N:1334750

Scale	Column	Depth (m)	Horizon	Description	Sample	Au (ppb)
1		0.20	s-soil	yellowish gray	D-Pit-33-1 (0.00-0.20)	7
		2	hard carapace	reddish brown 2cm peb	D-Pit-33-2 (0.20-1.00)	5
D-Pit-33-3 (1.00-1.90)	16					
3		1.90	soft carapace	reddish brown partly yellowish brown mtx rich 2.30m:qtz peb bg	D-Pit-33-4 (1.90-2.60)	16
		4	mottled clay zone	reddish brown almostly mtx text not clear	D-Pit-33-5 (2.60-3.90)	31
5	saprolite				reddish brown origin unknown	D-Pit-33-6 (3.90-5.00)
		5.00				

D-Pit-34

E-Line
Loc. E:692900 N:1334750

Scale	Column	Depth (m)	Horizon	Description	Sample	Au (ppb)
1		0.80	soft carapace	reddish brown almost peb	D-Pit-34-1 (0.00-0.80)	15
			2	psamitic schist	reddish brown~ l-yellowish gray Birrimien vfg N28W70Edip 2.00m 2.5-m 2.70m: qtz. v 5mm N54W12Ndip 2.30m~:yellowish brown~ l-gray 3.60m:concordant qtz. v 5mm	D-Pit-34-2 (0.80-1.90)
D-Pit-34-3 (1.90-3.00)	10					
3		5	D-Pit-34-4 (3.00-4.00)	5		
					D-Pit-34-5 (4.00-5.00)	5
5		5.00				

D-Pit-35

E-Line
Loc. E:693000 N:1334750

Scale	Column	Depth (m)	Horizon	Description	Sample	Au (ppb)	
			s-soil	l-yellowish gray	D-Pit-35-1 (0.00-0.70)	72	
1		0.70	hard carapace	reddish brown, 1cm- peb	D-Pit-35-2 (0.70-1.00)	36	
		1.00	saprolite	yellowish gray Bi. origin	D-Pit-35-3 (1.00-1.50)	61	
2		1.50	psamitic schist	yellowish gray~l-gray weathered Birrimien vfg N14W62Edip 1.90m:concordant lim stain	D-Pit-35-4 (1.50-2.60)	24	
3		D-Pit-35-5 (2.60-3.70)			18		
4		3.70			weakly whred	D-Pit-35-6 (3.70-4.50)	19
5		4.50					

D-Pit-36

E-Line
Loc. E:693100 N:1334750

Scale	Column	Depth (m)	Horizon	Description	Sample	Au (ppb)	
1		1.10	recent sediments	l-yellowish gray poor-sorted fine sediments flood plane?	D-Pit-36-1 (0.00-1.10)	20	
2			hard carapace	l-reddish brown qtz. peb 1.5cm very rich	D-Pit-36-2 (1.10-2.00)	19	
3		2.00	psamitic schist	l-yellowish reddish brown weathered Bi. saprolitic	D-Pit-36-3 (2.00-3.20)	22	
4				3.20	l-yellowish gray weak-whred Bi. vfg N4W62Edip	D-Pit-36-4 (3.20-4.10)	<1
5				4.10	l-greenish gray	D-Pit-36-5 (4.10-5.00)	2
				5.00			

D-Pit-37

E-Line
Loc. E:693200 N:1334750

Scale	Column	Depth (m)	Horizon	Description	Sample	Au (ppb)
			s-soil	l-yellowish gray	D-Pit-37-1 (0.00-0.50)	<1
1		0.50	hard carapace	reddish brown	D-Pit-37-2 (0.50-1.10)	4
		1.10	soft carapace	l-reddish gray	D-Pit-37-3 (1.10-1.80)	8
2		1.80	saprolite	yellowish brown~l-gray Bi. vfg- 2.20m:lim qtz. v 1cm N44W30Ndip 3.00m:qtz. v 5mm 2v 3.20m:qtz. v 1cm N34W50Edip 3.70m:qtz. v 1cm N34W50Edip hem	D-Pit-37-4 (1.80-2.90)	4
3					D-Pit-37-5 (2.90-4.10)	3
4		4.10	psamitic schist	l-gray~reddish brown Bi. vfg-ss N4W82Edip	D-Pit-37-6 (4.10-5.10)	<1
5		5.10				


D-Pit-38

E-Line
Loc. E:693300 N:1334750

Scale	Column	Depth (m)	Horizon	Description	Sample	Au (ppb)
		0.20	s-soil	yellowish gray	D-Pit-38-1 (0.00-0.20)	10
1		1.80	hard carapace	l-yellowish brown bi. latete. peb bg sub-ang. qtz peb (max5cm) bg	D-Pit-38-2 (0.20-0.90)	7
					D-Pit-38-3 (0.90-1.80)	18
2			pelitic schist	yellowish gray weathered 2.30	D-Pit-38-4 (1.80-2.30)	51
3				yellowish gray~l-gray Bi. silt N14W64Edip	D-Pit-38-5 (2.30-3.00)	3
		3.00				
4						
5						


D-Pit-39

E-Line
Loc. E:693400 N:1334750

Scale	Column	Depth (m)	Horizon	Description	Sample	Au (ppb)
		0.20	s-soil	yellowish gray	D-Pit-39-1 (0.00-0.20)	12
		0.20	soft carapace	reddish brown	D-Pit-39-2 (0.20-0.65)	14
1		0.65	pelitic schist	reddish brown Bi. silt origin N25W71Edip 2-3m:qtz. vlt 5mm (max2cm) 15v/1m lim, hem bg fault?:N74W85Sdip w=10cm lim, hem clay bg	D-Pit-39-3 (0.65-1.50)	8
2					D-Pit-39-4 (1.50-2.50)	1
3		2.50				
4						
5						

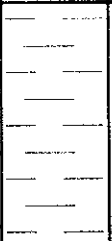

D-Pit-40

E-Line
Loc. E:693500 N:1334750

Scale	Column	Depth (m)	Horizon	Description	Sample	Au (ppb)
		0.50	pelitic schist	l-yellowish gray whred Bi. l-yellowish ~l-greenish gray Birimien silt N36W68Edip	D-Pit-40-1 (0.00-0.50)	3
1					D-Pit-40-2 (0.50-1.30)	1
2					D-Pit-40-3 (1.30-2.10)	5
3		2.10				
4						
5						


D-Pit-41

J-Line
Loc. E:693300 N:1333500

Scale	Column	Depth (m)	Horizon	Description	Sample	Au (ppb)
1			recent sediments	l-yellowish gray lim stain poor-sorted	D-Pit-41-1 (0.00-1.20)	27
2		1.60	psamitic schist	l-yellowish gray saproplitic Bi.	D-Pit-41-2 (1.20-2.30)	7
3		2.30		l-greenish gray Birimien lng massive N14W70W dip 1.60-2.50m: (hem) qtz. v 1.5cm	D-Pit-41-3 (2.30-3.00)	9
4		3.00				
5						


D-Pit-42

J-Line
Loc. E:693400 N:1333500

Scale	Column	Depth (m)	Horizon	Description	Sample	Au (ppb)
1			psamitic schist	l-reddish brown Bi. saproplitic	D-Pit-42-1 (0.00-0.80)	6
		0.80		l-greenish purplish gray Bi. vfg	D-Pit-42-2 (0.88-1.50)	<1
2		1.50				
3						
4						
5						


D-Pit-43

J-Line
Loc. E:693500 N:1333500

Scale	Column	Depth (m)	Horizon	Description	Sample	Au (ppb)
1		0.20	s-soil	yellowish gray	D-Pit-43-1 (0.00-0.20)	22
			psamitic schist	reddish yellowish brown saprolitic Bi. N14W76Edip 0.50m:hem-qtz. v 2cm concdt.	D-Pit-43-2 (0.20-1.00)	19
				1.00 - 1.20m:qtz. v 2.5cm N4W40Edip sil?	D-Pit-43-3 (1.00-1.40)	8
				1.40 - greenish gray Birrimien vfg	D-Pit-43-4 (1.40-2.00)	<1
2		2.00				
3						
4						
5						

D-Pit-44

J-Line
Loc. E:693600 N:1333500

Scale	Column	Depth (m)	Horizon	Description	Sample	Au (ppb)
1		0.10	s-soil	gray	D-Pit-44-1 (0.00-0.10)	62
			soft carapace	yellowish reddish brown	D-Pit-44-2 (0.10-0.50)	16
2		0.50	pelitic schist	l-reddish brown saprolitic Bi. weathered 0.60-1.10m:(hem)qtz. vlt 1-3cm 9v/1m	D-Pit-44-3 (0.50-1.70)	10
				1.70 - greenish reddish gray qtz. v 1cm	D-Pit-44-4 (1.70-2.00)	18
3		3.00		reddish greenish gray Birrimien N16W70Edip	D-Pit-44-5 (2.00-3.00)	13
4						
5						

D-Pit-45

J-Line
Loc. E:693700 N:1333500

Scale	Column	Depth (m)	Horizon	Description	Sample	Au (ppb)
1		0.10	s-soil	gray	D-Pit-45-1 (0.00-0.10)	20
		0.80	soft carapace	reddish brown	D-Pit-45-2 (0.10-0.80)	137
			saprolite	yellowish gray 0.90m:lim stain 1.10m:qtz. v 3mm 2v/10cm 1.20m:hem-qtz. v 3mm 2v/10cm	D-Pit-45-3 (0.80-1.90)	10
				1.90 l-yellowish reddish gray powder-like Bi. origin	D-Pit-45-4 (1.90-2.60)	18
		2.60	psamitic schist	l-greenish gray Bi. vfg N34W58Edip	D-Pit-45-5 (2.60-3.00)	5
3		3.00				
4						
5						

D-Pit-46

J-Line
Loc. E:693800 N:1333500

Scale	Column	Depth (m)	Horizon	Description	Sample	Au (ppb)
1		0.30	s-soil	yellowish gray	D-Pit-46-1 (0.00-0.30)	10
		1.00	hard carapace	yellowish reddish brown small peb	D-Pit-46-2 (0.30-1.00)	9
soft carapace	reddish brown hem peb		D-Pit-46-3 (1.00-1.90)	39		
2	1.90		mottled clay zone	(reddish) brown mtx rich	D-Pit-46-4 (1.90-3.00)	19
3		3.00	saprolite	reddish brown Bi. origin?	D-Pit-46-5 (3.00-3.60)	8
4	3.60	reddish brown Bi. origin		D-Pit-46-6 (3.60-4.30)	16	
5		4.30	pelitic schist	l-yellowish reddish gray Birrimien silt N34W40Edip	D-Pit-46-7 (4.30-4.90)	14
		4.90				

D-Pit-47

J-Line
Loc. E:693900 N:1333500

Scale	Column	Depth (m)	Horizon	Description	Sample	Au (ppb)
1		1.00	hard carapace	yellowish reddish brown sub-ang. qtz hem peb (cuirrasse)	D-Pit-47-1 (0.00-1.00)	8
2						
3						
4						
5						

D-Pit-48

J-Line
Loc. E:694000 N:1333500

Scale	Column	Depth (m)	Horizon	Description	Sample	Au (ppb)
1		0.60	hard carapace	dark reddish brown (cuirrasse)	D-Pit-48-1 (0.00-0.60)	8
1		1.00		yellowish reddish brown	D-Pit-48-2 (0.60-1.00)	9
2						
3						
4						
5						

D-Pit-49

J-Line
Loc. E:694100 N:1333500

Scale	Column	Depth (m)	Horizon	Description	Sample	Au (ppb)
1		0.25	s-soil	yellowish gray	D-Pit-49-1 (0.00-0.25)	8
			hard carapace	0.60 (cuirrasse)	D-Pit-49-2 (0.25-0.60)	6
				reddish grown rounded hem peb bg mtx:yellowish reddish brown	D-Pit-49-3 (0.60-1.70)	12
					D-Pit-49-4 (1.70-3.00)	8
2		3.00				
3						
4						
5						

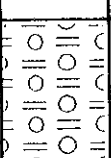



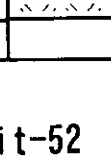
D-Pit-50

J-Line
Loc. E:694200 N:1333500

Scale	Column	Depth (m)	Horizon	Description	Sample	Au (ppb)
1		0.25	s-soil	yellowish gray	D-Pit-50-1 (0.00-0.25)	<1
			hard carapace	yellowish reddish brown	D-Pit-50-2 (0.25-0.80)	6
				soft carapace	yellowish redish brown mtx rich	D-Pit-50-3 (0.80-1.40)
			2		1.80	mottled clay zone
saprolite	yellowish reddish brown Bi. origin N4W60Edip 2.10m:hem-qtz. v 1cm	D-Pit-50-5 (1.80-3.10)	13			
	3.10 l-yellowish gray	D-Pit-50-6 (3.10-3.60)	5			
	3.60 reddish brown Bi. N4W64Edip 3.60-4.60m: lim(hem)-qtz. v 1.5cm	D-Pit-50-7 (3.60-4.60)	6			
3		5.00				
4						
5						






D-Pit-51

L-Line
Loc. E:693500 N:1333000

Scale	Column	Depth (m)	Horizon	Description	Sample	Au (ppb)
		0.20	s-soil	gray	D-Pit-51-1 (0.00-0.20)	11
1		1.20	hard carapace	reddish brown 0.90 ——— soften	D-Pit-51-2 (0.20-1.20)	13
2		1.20	saprolite	l-yellowish reddish brown 1.30m: (hem)-qtz. v 4cm N50W25Ndip	D-Pit-51-3 (1.20-2.00)	27
3				2.80 ———	D-Pit-51-4 (2.00-2.80)	31
4				l-gray igneous rock origin? 3.90m: irregular qtz. v w=max4cm lim, hem bg	D-Pit-51-5 (2.80-4.00)	14
5		5.00			D-Pit-51-6 (4.00-5.00)	13

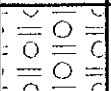




D-Pit-52

L-Line
Loc. E:693600 N:1333000

Scale	Column	Depth (m)	Horizon	Description	Sample	Au (ppb)
		0.40	s-soil	gray	D-Pit-52-1 (0.00-0.40)	82
1		1.20	hard carapace	reddish brown peb rich qtz, hem pnb bg	D-Pit-52-2 (0.40-1.20)	10
2		1.20	saprolite	l-reddish gray Bi. origin N14W60Edip 1.20m: chl-hem-lim qtz. v w=10cm N38E60Sdip	D-Pit-52-3 (1.20-2.00)	17
3				2.60 ——— l-gray	D-Pit-52-4 (2.00-3.10)	12
4				2-3.80m: concordant qtz. vlt network lim-hem 3.90m: qtz. v lcm	D-Pit-52-5 (3.10-4.00)	15
5				5.00		

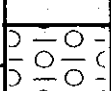
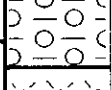



D-Pit-53

L-Line
Loc. E:693700 N:1333000

Scale	Column	Depth (m)	Horizon	Description	Sample	Au (ppb)
			s-soil	yellowish gray	D-Pit-53-1 (0.00-0.60)	20
1		0.60	hard carapace	reddish brown sub-ang. Bi. qtz hem peb bg	D-Pit-53-2 (0.60-1.20)	16
2		1.20	saprolite	reddish yellowish gray~l-gray Bi. origin N26W70Edip 3.00m:reddish brown lim stain 4.20m:qtz. v 1cm	D-Pit-53-3 (1.20-2.00)	12
3					D-Pit-53-4 (2.00-3.00)	8
4					D-Pit-53-5 (3.00-4.00)	4
5					D-Pit-53-6 (4.00-5.00)	6
		5.00				

D-Pit-54

L-Line
Loc. E:693800 N:1333000

Scale	Column	Depth (m)	Horizon	Description	Sample	Au (ppb)
			s-soil	yellowish gray	D-Pit-54-1 (0.00-0.50)	12
1		0.50	soft carapace	yellowish reddish brown mtx rich	D-Pit-54-2 (0.50-1.20)	34
2		1.20	mottled clay zone	yellowish reddish brown a few peb almost mtx	D-Pit-54-3 (1.20-2.20)	22
3		2.20	saprolite	yellowish reddish brown Bi. origin 2.20m:qtz. v 5mm N50W30Edip 2.50m:qtz. v 2cm N6E65Wdip 2.80m:qtz. v 1cm N56E50Ndip	D-Pit-54-4 (2.20-3.10)	10
4		3.10	pelitic schist	yellowish reddish brown partly l-gray weathered N22W72Edip 3.80m:qtz. v 1cm N30E75Wdip 4.00m:qtz. v 5mm N4W65Wdip 4.30m:qtz. v 5mm N88W50Ndip	D-Pit-54-5 (3.10-4.00)	13
5					D-Pit-54-6 (4.00-5.00)	12
		5.00				

D-Pit-55

L-Line
Loc. E:693900 N:1333000

Scale	Column	Depth (m)	Horizon	Description	Sample	Au (ppb)
1		0.20	s-soil	yellowish gray	D-Pit-55-1 (0.00-0.20)	160
		0.80	hard carapace	reddish brown qtz (max4cm) hem (max3cm) peb bg	D-Pit-55-2 (0.20-0.80)	5
2			soft carapace	yellowish reddish brown hem qtz peb bg mtx rich	D-Pit-55-3 (0.80-1.55)	9
		1.55	mottled clay zone	yellowish reddish brown mostly mtx	D-Pit-55-4 (1.55-2.10)	8
3		2.10	saprolite	1-reddish gray Bi. (vfg) origin text. not clear 2.35m:qtz. v 1cm N74W34Ndip 2.70m:qtz. v 8mm 3mm N20W78Edip 3.50m:qtz. vlt 2-10mm 8v/lm N72W42Ndip 1-3cm N14W65Edip 2mm	D-Pit-55-5 (2.10-3.00)	43
					D-Pit-55-6 (3.00-4.00)	12
					D-Pit-55-7 (4.00-5.00)	29
5		5.00				

D-Pit-56

L-Line
Loc. E:694000 N:1333000

Scale	Column	Depth (m)	Horizon	Description	Sample	Au (ppb)
1		0.35	s-soil	gray	D-Pit-56-1 (0.00-0.35)	41
		0.75	hard carapace	yellowish reddish brown sub-ang, qtz hem peb bg	D-Pit-56-2 (0.35-0.75)	59
			soft carapace	yellowish reddish brown qtz hem peb bg mtx:soft	D-Pit-56-3 (0.75-1.10)	23
		2		1.10	mottled clay zone	1-reddish brown hem peb bg
1.50	saprolite			yellowish reddish gray fng	D-Pit-56-5 (1.50-2.40)	198
3			2.40	pelitic schist	greenish gray (whred part:purplish) Bi. silt N34W58Edip qtz. v 0.5mm concordant 6v/50cm	D-Pit-56-6 (2.40-3.50)
	3.50					
4						
5						

D-Pit-57

L-Line
Loc. E:694100 N:1333000

Scale	Column	Depth (m)	Horizon	Description	Sample	Au (ppb)
1		0.10	s-soil	yellowish gray	D-Pit-57-1 (0.00-0.10)	49
		0.90	hard carapace	yellowish reddish brown sub-ang. hem peb bg	D-Pit-57-2 (0.10-0.90)	3
2			soft carapace	yellowish reddish brown hem qtz peb lcm bg	D-Pit-57-3 (0.90-1.50)	22
		2.10	mottled clay zone	l-yellowish reddish gray partly hem peb bg	D-Pit-57-4 (1.50-2.10)	19
3		3.30	saprolite	reddish yellowish gray Bi. origin	D-Pit-57-5 (2.10-3.30)	12
		4		pelitic schist	l-yellowish gray Birrimien silt weathered N20W52Edip	D-Pit-57-6 (3.30-4.80)
5				4.80		

D-Pit-58

L-Line
Loc. E:694200 N:1333000

Scale	Column	Depth (m)	Horizon	Description	Sample	Au (ppb)
1		0.15	s-soil	gray	D-Pit-58-1 (0.00-0.15)	16
		0.90	hard carapace	yellowish reddish brown	D-Pit-58-2 (0.15-0.90)	19
2			soft carapace	yellowish reddish brown soften mtx rich	D-Pit-58-3 (0.90-2.10)	298
		2.10	mottled clay zone	yellowish reddish brown partly l-gray mostly mtx	D-Pit-58-4 (2.10-3.00)	118
3		3.00	saprolite	l-yellowish reddish brown non-text.	D-Pit-58-5 (3.00-4.00)	5
		4				D-Pit-58-6 (4.00-5.00)
5				5.00		

D-Pit-59

L-Line
Loc. E:694300 N:1333000

Scale	Column	Depth (m)	Horizon	Description	Sample	Au (ppb)
		0.30	s-soil	yellowish gray	D-Pit-59-1 (0.00-0.30)	17
1			soft carapace	yellowish reddish brown sub-ang. hem peb bg	D-Pit-59-2 (0.30-1.40)	10
2		1.40	mottled clay zone	yellowish reddish brown almost mtx 1-1.40m:lim-hem qtz. v lcm N25W76Edip concordant sith Bi.? 1.40-3.10m:qtz. vlt 5-10mm lens-like max30cm N88E42Ndip?	D-Pit-59-3 (1.40-2.40)	4
3					D-Pit-59-4 (2.40-3.40)	4
4		3.40	saprolite	yellowish reddish brown Bi. origin N34W60Edip 4.40 vfg size psamitic schist 4.50m:hem-qtz. v lcm	D-Pit-59-5 (3.40-4.40)	1
5					D-Pit-59-6 (4.40-5.00)	3
		5.00				

D-Pit-60

L-Line
Loc. E:694400 N:1333000

Scale	Column	Depth (m)	Horizon	Description	Sample	Au (ppb)
		0.15	s-soil	l-reddish gray	D-Pit-60-1 (0.00-0.15)	6
1			soft carapace	yellowish reddish brown mtx:yellowish gray	D-Pit-60-2 (0.15-1.50)	7
2		1.50	mottled clay zone	l-yellowish reddish brown mtx rich Bi. origin??	D-Pit-60-3 (1.50-2.70)	6
3					saprolite	yellowish reddish brown a few peb text. unknown
4			D-Pit-60-5 (4.00-5.00)	3		
5			5.00			

D-Pit-61

E-Line
Loc. E:692300 N:1334750

Scale	Column	Depth (m)	Horizon	Description	Sample	Au (ppb)
1		0.20	s-soil	yellowish gray	D-Pit-61-1 (0.00-0.20)	<1
			hard carapace	reddish brown sub-ang. qtz hem peb 2cm- bg mtx:yellowish	D-Pit-61-2 (0.20-1.00)	27
2		1.00				
3						
4						
5						



D-Pit-62

E-Line
Loc. E:692400 N:1334750

Scale	Column	Depth (m)	Horizon	Description	Sample	Au (ppb)
1		0.20	s-soil	yellowish gray	D-Pit-62-1 (0.00-0.20)	11
			hard carapace	yellowish reddish brown ang. qtz hem peb 2cm- bg (cuirrasse)	D-Pit-62-2 (0.20-1.00)	9
2		1.00				
3						
4						
5						

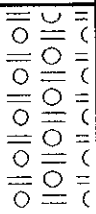

D-Pit-63

E-Line
Loc. E:692500 N:1334750

Scale	Column	Depth (m)	Horizon	Description	Sample	Au (ppb)
1		0.30	s-soil	yellowish gray	D-Pit-63-1 (0.00-0.30)	44
			hard carapace	dark reddish yellowish brown ang. qtz hem peb bg	D-Pit-63-2 (0.30-1.00)	9
2		1.00				
3						
4						
5						

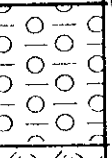


D-Pit-64

F-Line
Loc. E:692400 N:1334500

Scale	Column	Depth (m)	Horizon	Description	Sample	Au (ppb)
1			hard carapace	yellowish reddish brown hem peb 1.5cm rich 1.20-1.40m:qtz. v lcm	D-Pit-64-1 (0.00-1.40)	7
2		1.40	soft carapace	reddish brown mtx rich	D-Pit-64-2 (1.40-2.50)	<1
3		2.50	saprolite	reddish brown Bi. origin?	D-Pit-64-3 (2.50-3.00)	5
4		3.00		yellowish reddish brown partly l-gray 3.50m:white-mica bg qtz 5cm pegmatite ?	D-Pit-64-4 (3.00-4.00)	1
5						D-Pit-64-5 (4.00-5.00)
		5.00				

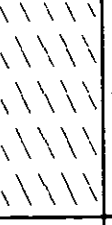
D-Pit-65

F-Line
Loc. E:692500 N:1334500

Scale	Column	Depth (m)	Horizon	Description	Sample	Au (ppb)
		0.50	s-soil	yellowish gray	D-Pit-65-1 (0.00-0.50)	12
1			soft carapace	reddish brown sub-ang. qtz peb 1-2cm bg mtx rich	D-Pit-65-2 (0.50-1.20)	7
2		1.20	saprolite	yellowish redish gray Bi. origin w=1cm clay zone N14W50Edip fault ?	D-Pit-65-3 (1.20-2.30)	7
3		2.30	pelitic schist	l-gray, partly yellowish whred Bi. silt N34W58Edip 4.30m:hem-qtz. v 1-5mm 3v N-S45Edip ?	D-Pit-65-4 (2.30-3.50)	6
4					D-Pit-65-5 (3.50-5.00)	9
5		5.00				


D-Pit-66

J-Line
Loc. E:693000 N:13335000

Scale	Column	Depth (m)	Horizon	Description	Sample	Au (ppb)
		0.50	psamitic schist	reddish brown	D-Pit-66-1 (0.00-0.50)	9
1				Bi. vfg N24W74Edip joint:N14Wvertical	purplish greenish gray	D-Pit-66-2 (0.50-1.50)
2		1.50				
3						
4						
5						



D-Pit-67

J-Line
Loc. E:693100 N:1333500

Scale	Column	Depth (m)	Horizon	Description	Sample	Au (ppb)
		0.40	s-soil	l-gray	D-Pit-67-1 (0.00-0.40)	164
1			psamitic schist	reddish brown Bi. fng N24W64Edip	D-Pit-67-2 (0.40-1.50)	5
2				1.50	greenish gray fng partly mdg	D-Pit-67-3 (1.50-2.50)
3		2.50				
4						
5						

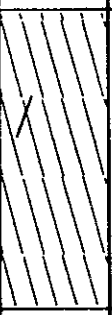
D-Pit-68

J-Line
Loc. E:693200 N:1333500

Scale	Column	Depth (m)	Horizon	Description	Sample	Au (ppb)
1			recent sediments	poor-sorted ang. peb-cob (max15cm)	D-Pit-68-1 (0.00-1.00)	221
2				1.00	poor-sorted horizontal flood plane	D-Pit-68-2 (1.00-2.20)
3		2.20	psamitic schist	greenish purplish gray Bi. mdg. white-mica bg hem stain film N34W50Edip	D-Pit-68-3 (2.20-3.20)	<1
4				3.20	greenish gray fresh Bi. mdg~csg	D-Pit-68-4 (3.20-3.90)
5		3.90				


D-Pit-69

K-Line
Loc. E:693600 N:1333250

Scale	Column	Depth (m)	Horizon	Description	Sample	Au (ppb)
1			pelitic schist	reddish gray Birrimien silt N32W84Edip 0.70m:qtz.v 1.5cm N34W70Wdip hem stain 3mm 3v/10cm	D-Pit-69-1 (0.00-1.00)	2
					D-Pit-69-2 (1.00-2.00)	9
2		2.00				
3						
4						
5						

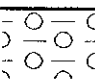
D-Pit-70

K-Line
Loc. E:693700 N:1333250

Scale	Column	Depth (m)	Horizon	Description	Sample	Au (ppb)	
1		0.30	s-soil	l-yellowish gray	D-Pit-70-1 (0.00-0.30)	96	
			pelitic schist	1.30	reddish brown weathered Bi. silt	D-Pit-70-2 (0.30-1.30)	14
					greenish gray Bi. silt N26W60Edip	D-Pit-70-3 (1.30-2.00)	11
2		2.00					
3							
4							
5							


D-Pit-71

K-Line
Loc. E:693800 N:1333250

Scale	Column	Depth (m)	Horizon	Description	Sample	Au (ppb)
1		0.30	s-soil	yellowish gray	D-Pit-71-1 (0.00-0.30)	40
		0.80	soft carapace	l-yellowish reddish brown Bi. peb bg	D-Pit-71-2 (0.30-0.80)	24
	mottled clay zone		l-yellowish reddish brown ang.qtz late. peb bg mtx:rich 1.10-1.80m:lim-qtz.v l-4cm E-W55Sdip	D-Pit-71-3 (0.80-1.80)	374	
	2		1.80	saprolite	yellowish ocher igneous rock origin 2.10-2.60m:qtz.v	D-Pit-71-4 (1.80-2.60)
		2.60	3	porphyritic rock	weathered 4-5mm pinkish feldspar. non-mafic mtx:l-yellowish~purplish	D-Pit-71-5 (2.60-3.60)
3.60	4	5				

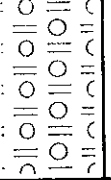
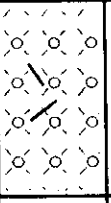

D-Pit-72

K-Line
Loc. E:693900 N:1333250

Scale	Column	Depth (m)	Horizon	Description	Sample	Au (ppb)
1		0.30	s-soil	reddish gray	D-Pit-72-1 (0.00-0.30)	116
		1.40	hard carapace	reddish brown sub-ang.hem peb bg	D-Pit-72-2 (0.30-1.40)	676
	mottled clay zone		l-yellowish brown mostly mtx qtz.v fragment hem stain	D-Pit-72-3 (1.40-2.50)	55	
	3		2.50	saprolite	l-reddish gray~l-gray Bi.origin N38W48Edip 3.30m:l-gray	D-Pit-72-4 (2.50-3.70)
		4	D-Pit-72-5 (3.70-5.00)			18
5		5.00				

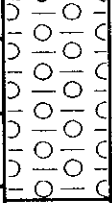
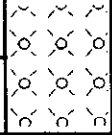

D-Pit-73

K-Line
Loc. E:694000 N:1333250

Scale	Column	Depth (m)	Horizon	Description	Sample	Au (ppb)
		0.25	s-soil	l-yellowish gray	D-Pit-73-1 (0.00-0.25)	16
1			hard carapace	yellowish reddish brown sub-ang. hem peb 2cm- bg (Bi. peb)	D-Pit-73-2 (0.25-1.50)	97
2		1.50	mottled clay zone	yellowish reddish brown mtx rich 1.90m:hem-qtz. v lcm N42W70Ndip 2.25m:hem-atz. v lcm E-W30Ndip	D-Pit-73-3 (1.50-2.80)	20
3		2.80	saprolite	reddish yellowish brown/ l-gray irregular Bi. origin silt N24W70Edip 3.20m:qtz. v lcm N84E80Sdip	D-Pit-73-4 (2.80-3.90)	15
4		D-Pit-73-5 (3.90-5.00)			13	
5		5.00				

D-Pit-74

K-Line
Loc. E:694100 N:1333250

Scale	Column	Depth (m)	Horizon	Description	Sample	Au (ppb)
		0.25	s-soil	yellowish gray	D-Pit-74-1 (0.00-0.25)	44
1			soft carapace	reddish yellowish brown rounded hem latele. peb bg mtx:rich to downward	D-Pit-74-2 (0.25-1.00)	16
		D-Pit-74-3 (1.00-1.60)			64	
2		1.60	mottled clay zone	reddish brown mostly mtx rarely hem peb	D-Pit-74-4 (1.60-2.50)	16
3		2.50	saprolite	reddish brown~yellowish brown partly l-gray	D-Pit-74-5 (2.50-3.50)	14
4		D-Pit-74-6 (3.50-4.40)			15	
5		4.40			D-Pit-74-7 (4.40-5.00)	11
		5.00		l-reddish brown~ l-reddish gray massive Bi. origin N34W62Edip		

D-Pit-75

K-Line
Loc. E:694200 N:1333250

Scale	Column	Depth (m)	Horizon	Description	Sample	Au (ppb)
		0.40	s-soil	yellowish gray	D-Pit-75-1 (0.00-0.40)	16
1		1.00	hard carapace	reddish brown hem qtz peb 1cm(max10cm) bg	D-Pit-75-2 (0.40-1.00)	16
2		2.00	soft carapace	yellowish reddish brown hem peb 1cm- bg mtx rich	D-Pit-75-3 (1.00-2.00)	7
		2.80	mottled clay zone	yellowish reddish brown mostly softened mtx	D-Pit-75-4 (2.00-2.80)	12
3		3.90	saprolite	yellowish reddish brown Bi. fragment bg mtx:l-gray	D-Pit-75-5 (2.80-3.90)	9
4		5.00	psamitic schist	reddish gray~l-gray Bi. origin fng weathered N24W60Edip	D-Pit-75-6 (3.90-5.00)	10
5		5.00				

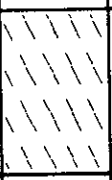
D-Pit-76

L-Line
Loc. E:693000 N:1333000

Scale	Column	Depth (m)	Horizon	Description	Sample	Au (ppb)
1			recent sediments	yellowish gray poor-sorted aub-ang. peb-cob psamitic sch. qtz etc., 1-1.90m:rounded bould. psamitic schist	D-Pit-76-1 (0.00-1.50)	10
2					D-Pit-76-2 (1.50-2.00)	4
		2.00	pelitic schist	greenish gray, Bi. silt, bio bg	D-Pit-76-3 (2.00-2.75)	8
3		2.75				
4						
5						



D-Pit-77

L-Line
Loc. E:693100 N:1333000

Scale	Column	Depth (m)	Horizon	Description	Sample	Au (ppb)
1		0.90	recent sediments	l-gray poor-sorted ang. peb Bi. sch. qtz	D-Pit-77-1 (0.00-0.90)	8
			psamitic schist	gray weathered Birrimien vfg N24W60Edip	D-Pit-77-2 (0.90-2.00)	6
2		2.00				
3						
4						
5						

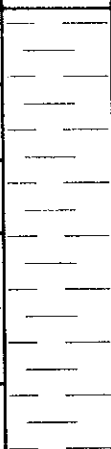
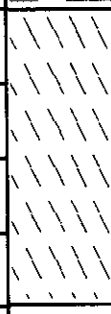
D-Pit-78

L-Line
Loc. E:693200 N:1333000

Scale	Column	Depth (m)	Horizon	Description	Sample	Au (ppb)
1		1.70	recent sediments	flood plane soil yellowish gray	D-Pit-78-1 (0.00-0.80)	17
				0.80 yellowish gray~ reddish gray sub-ang. peb-cob bg late. qtz etc.,	D-Pit-78-2 (0.80-1.70)	14
2			psamitic schist	l-gray Birrimien vfg N20W60Edip 2.30m:qtz. v 1mm N10E10Ndip?	D-Pit-78-3 (1.70-3.00)	10
3		3.00				
4						
5						


D-Pit-79

L-Line
Loc. E:693300 N:1333000

Scale	Column	Depth (m)	Horizon	Description	Sample	Au (ppb)
1			recent sediments	yellowish reddish brown late. crust peb ϕ 2cm sub-ang. sch peb (max10cm) quartz peb (4cm)	D-Pit-79-1	11
2					D-Pit-79-2	6
3		3.00	psamitic schist	l-gray partly greenish Birimien vfg N14W53Edip	D-Pit-79-3	5
4					D-Pit-79-4	6
5						
		5.00				

D-Pit-80

L-Line
Loc. E:693400 N:1333000

Scale	Column	Depth (m)	Horizon	Description	Sample	Au (ppb)	
		0.30	s-soil	l-yellowish gray	D-Pit-80-1	21	
1			pelitic schist	Birimien silt	yellow strong weathered 1.30m:qtzv. 3mm N74E85Ndip	D-Pit-80-2	43
2					reddish brown N35W72Edip	D-Pit-80-3	12
3					l-gray	D-Pit-80-4	16
		3.00					
4							
5							

D-Pit-81

M-Line
Loc. E:693700 N:1332750

Scale	Column	Depth (m)	Horizon	Description	Sample	Au (ppb)
1		0.20	s-soil	yellowish gray	D-Pit-81-1 (0.00-0.20)	16
		1.30	hard carapace	yellowish reddish brown sub-ang. hem (qtz) peb(1cm max4cm) bg	D-Pit-81-2 (0.20-1.30)	5
			soft carapace	yellowish reddish brown sub-ang. qtz hem peb bg mtx rich	D-Pit-81-3 (1.30-1.80)	7
2		1.80	mottled clay zone	1-reddish brown mostly mtx 2.00:qtz. v frag. max10cm 2.40-2.90m:qtz. v fragment	D-Pit-81-4 (1.80-3.00)	10
3				3.00	D-Pit-81-5 (3.00-4.00)	12
4				yellowish reddish brown pelitic schist origin? 3.70m:hem nodule ϕ 15cm almost mtx	D-Pit-81-6 (4.00-5.15)	11
5						
		5.15				

D-Pit-82

M-Line
Loc. E:693800 N:1332750

Scale	Column	Depth (m)	Horizon	Description	Sample	Au (ppb)
1		0.30	hard carapace	dark-reddish brown, (cuirrasse)	D-Pit-82-1 (0.00-0.30)	8
			hard carapace	yellowish reddish brown mtx:yellowish sub-ang. hem (qtz) peb 1cm(max2cm) bg	D-Pit-82-2 (0.30-1.00)	8
					D-Pit-82-3 (1.00-2.15)	124
2		2.15				
3						
4						
5						